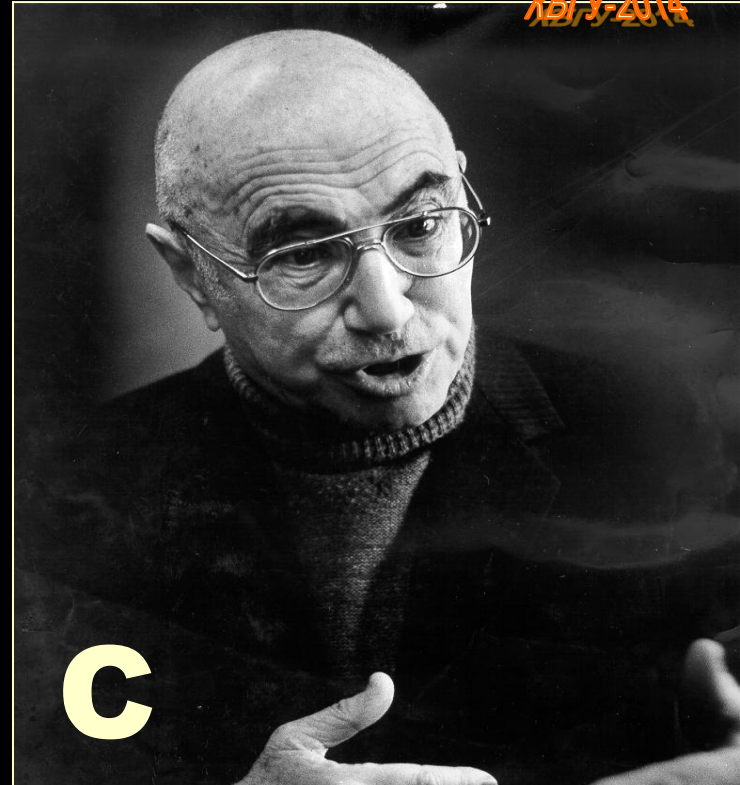


INTENSE SHOCK AND DETONATION WAVES FOR STUDY OF EXTREME STATES OF MATTER

V.Fortov,I.Lomonosov

IHED, IPCP

- # Extreme states of matter
- # Dynamical methods
- # Drivers
- # Hot and cold shock compressions
- # Adiabatic rarefaction
- # Plasma phase transitions
- # Metalisation
- # Dielectrisation
- # Chemical and electro-detonations
- # Shock wave stability
- # Semiempirics



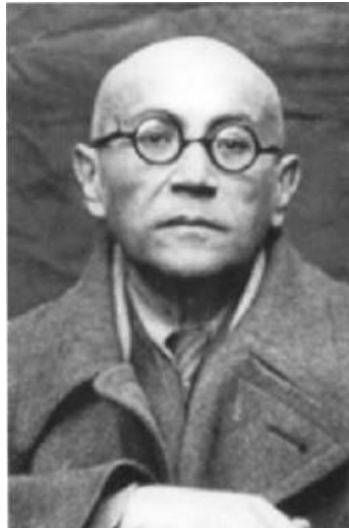
Представлено на XXIX International Conference on Equations of State for Matter, devoted to the 100th anniversary of birth of academician Yakov Borisovich Zeldovich (8.03.1914–2.12.1987).

March 1-6, 2014, Elbrus, Kabardino-Balkaria, Russia

Я. Б. Зельдович: биография



Мать – Анна Петровна Зельдович,
переводчица, член Союза писателей
(1890-1975)



Отец – Борис Наумович Зельдович,
юрист, член коллегии адвокатов
(1889-1943)



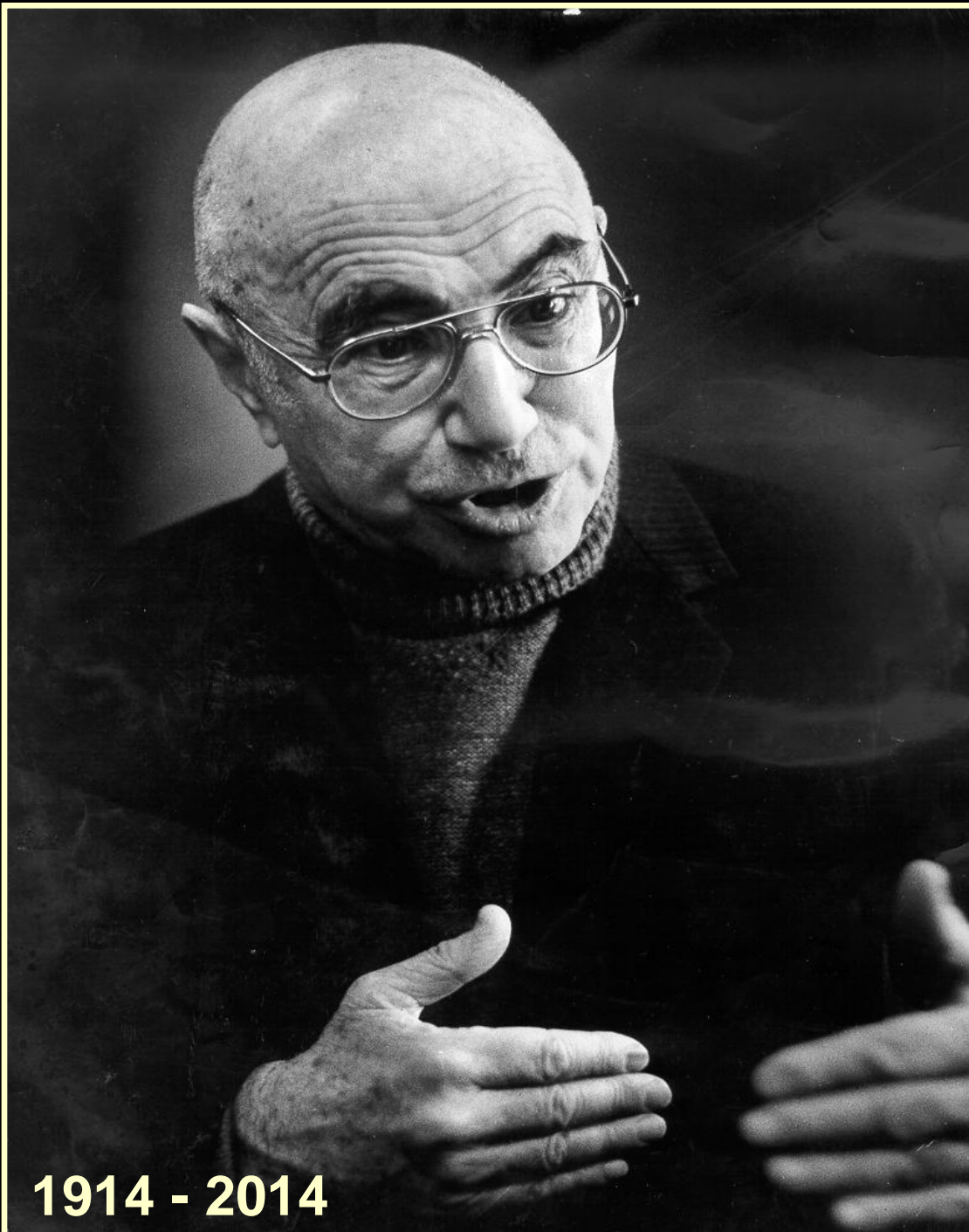
С родителями



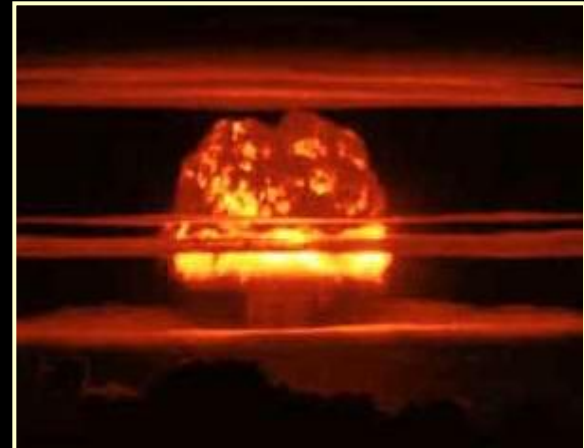
В Ленинграде, 1938 г.

«Много лет спустя я услышал три легенды. Первая: Механобр отдал меня Химфизике в обмен на масляный насос. Вторая: академик А. Я. Иоффе написал в Механобр, что для решения практических задач я никогда не буду пригоден. Третья: Иоффе терпеть не мог вундеркиндлов и потому отдал меня в Химфизику. До сих пор не знаю, сколько истины в каждом из них.»

Я. Б. Зельдович. Избранные труды. Числа, ядра, Вселенная. М., 1985, 435-446.

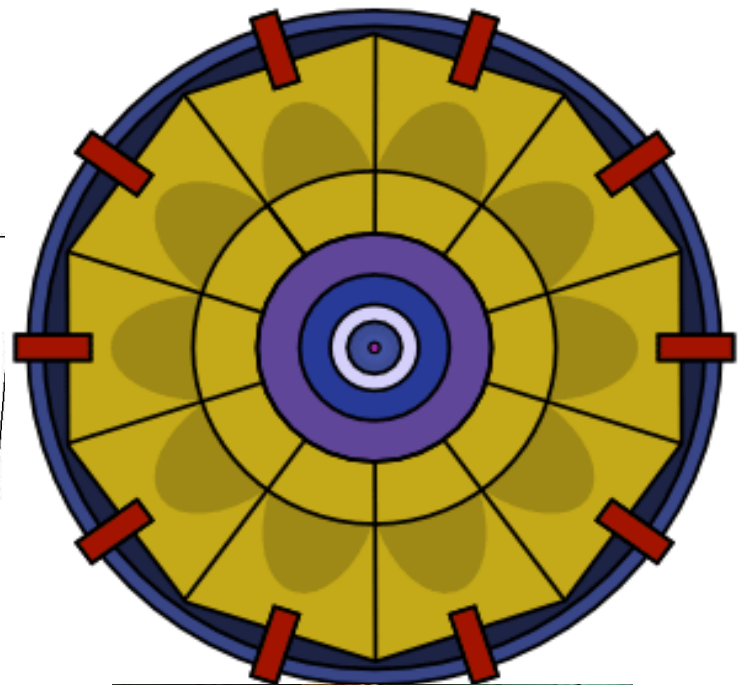
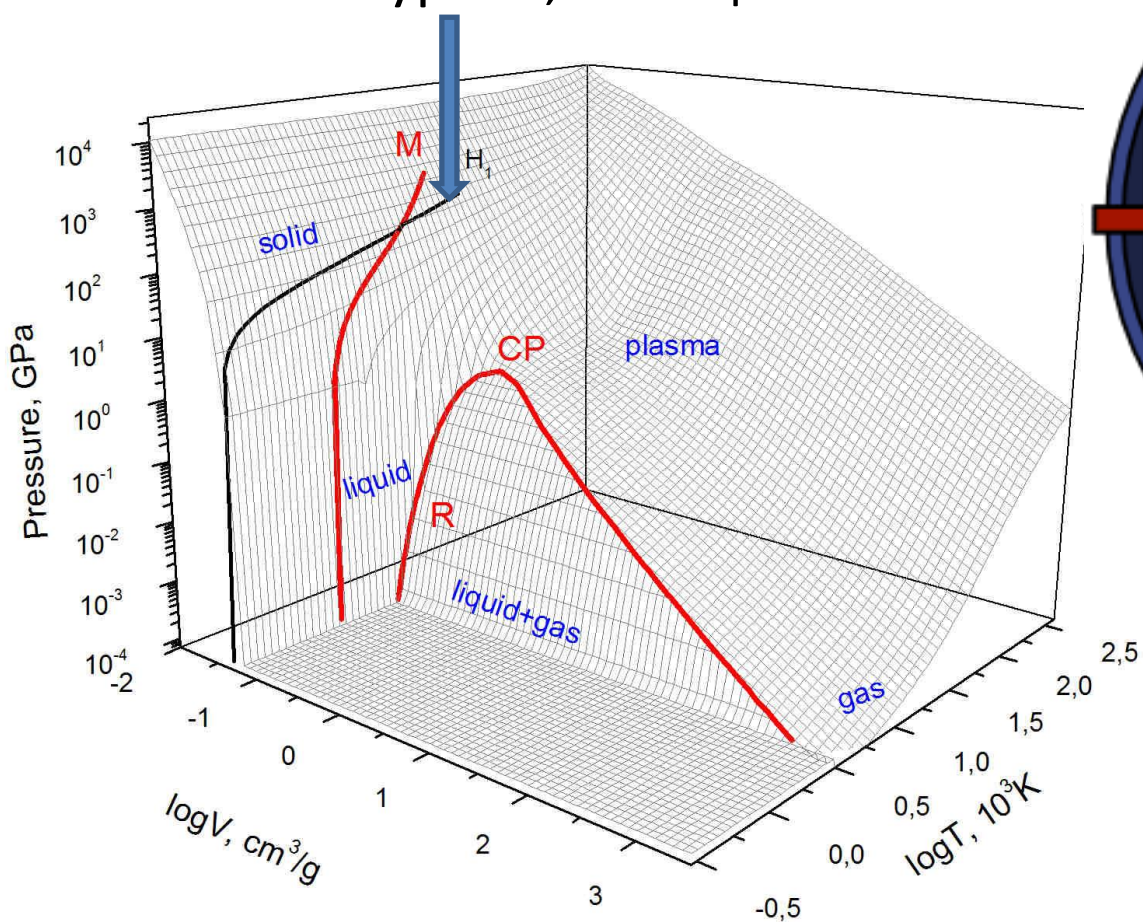


1914 - 2014

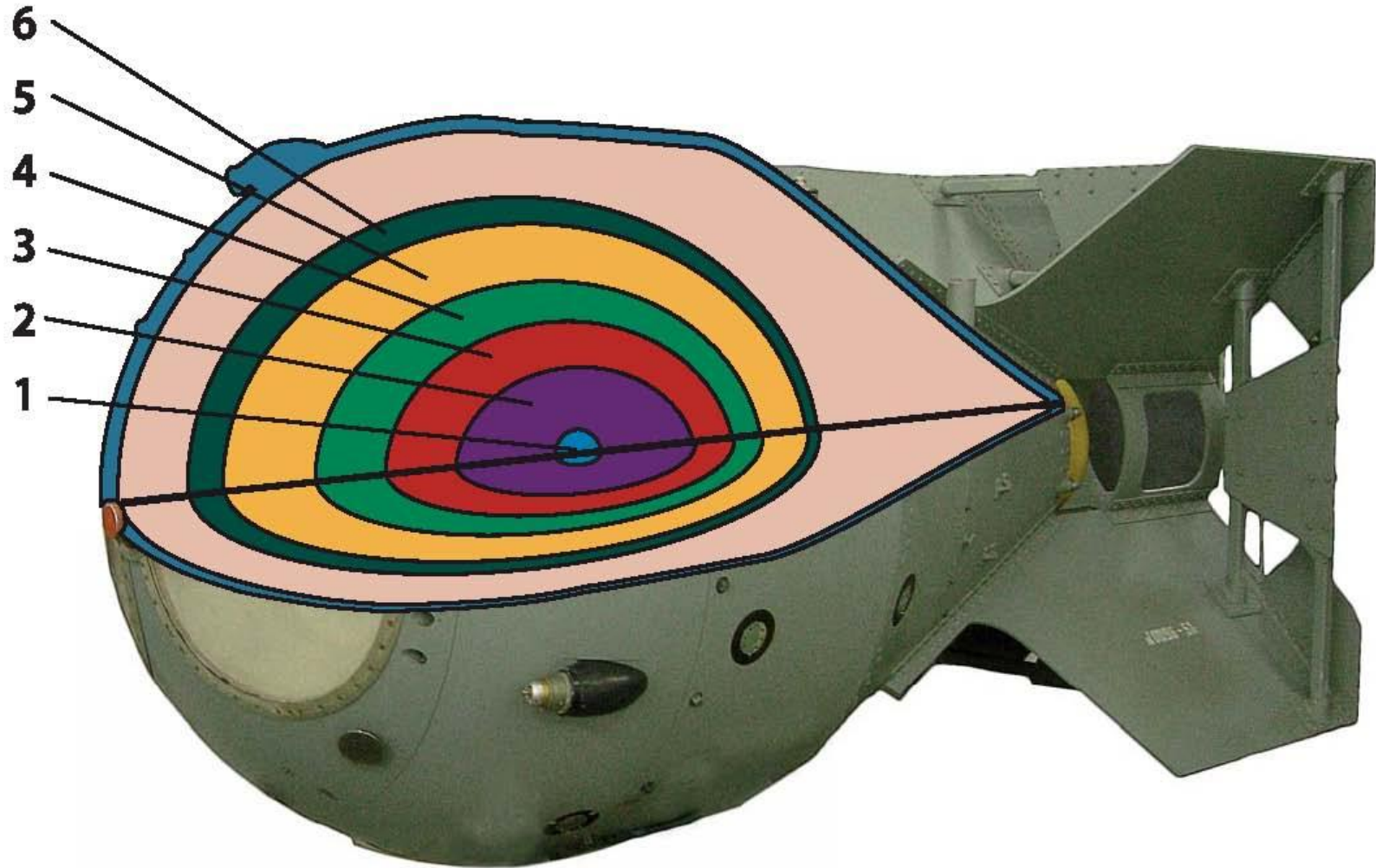


Фундаментальные идеи Я.Б. Зельдовича

УРС урана, конец 1940-х г.



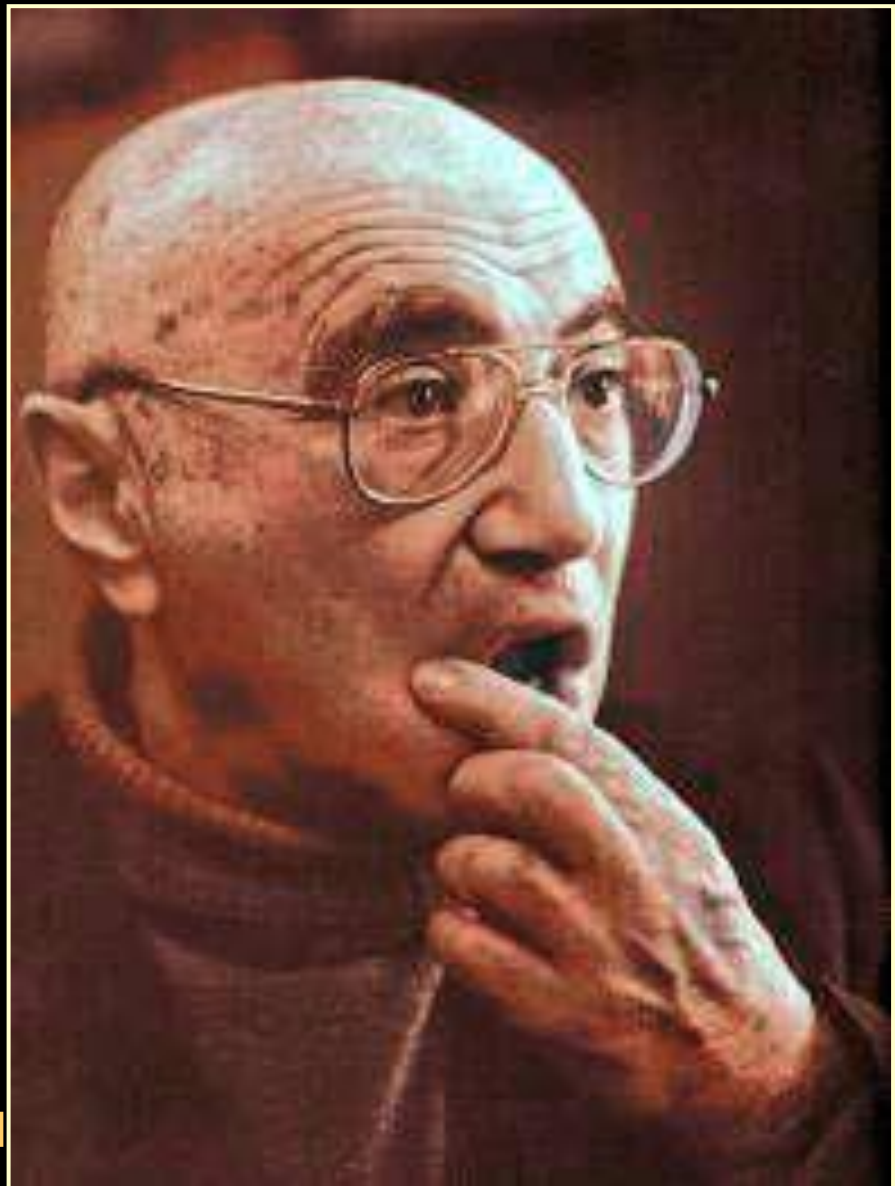
Достаточно ли знать
только ударную адиабату?



Принципиальная схема первой советской имплозионной атомной бомбы, являющейся аналогом американской бомбы "Fat Man"

*Мы должны знать
в десять раз
больше того, что
нужно знать
непосредственно
для изделия...*

Акад. Я.Б. Зельдович



SHOCK WAVE

富嶽三十六景 神奈川沖
浪裏

High P,
T, E

A diagram illustrating a shock wave. A large blue wave is shown crashing, with white spray at its crest. A horizontal arrow labeled \overline{U} points from left to right across the wave's face. Another horizontal arrow labeled D points to the right, indicating the direction of propagation of the shock wave.

$$V = V_0 \frac{(D - U)}{D}$$

$$P = P_0 + \frac{DU}{V_0}$$

$$E = E_0 + \frac{1}{2} P(V_0 - V)$$

Задача Ферми - Зельдовича



Третий Всесоюзный симпозиум по горению и взрыву,
, 4 – 10 июля 1971 г., Ленинград

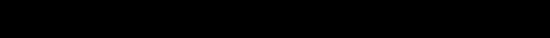
ZELDOVICH – FERMI PROBLEM

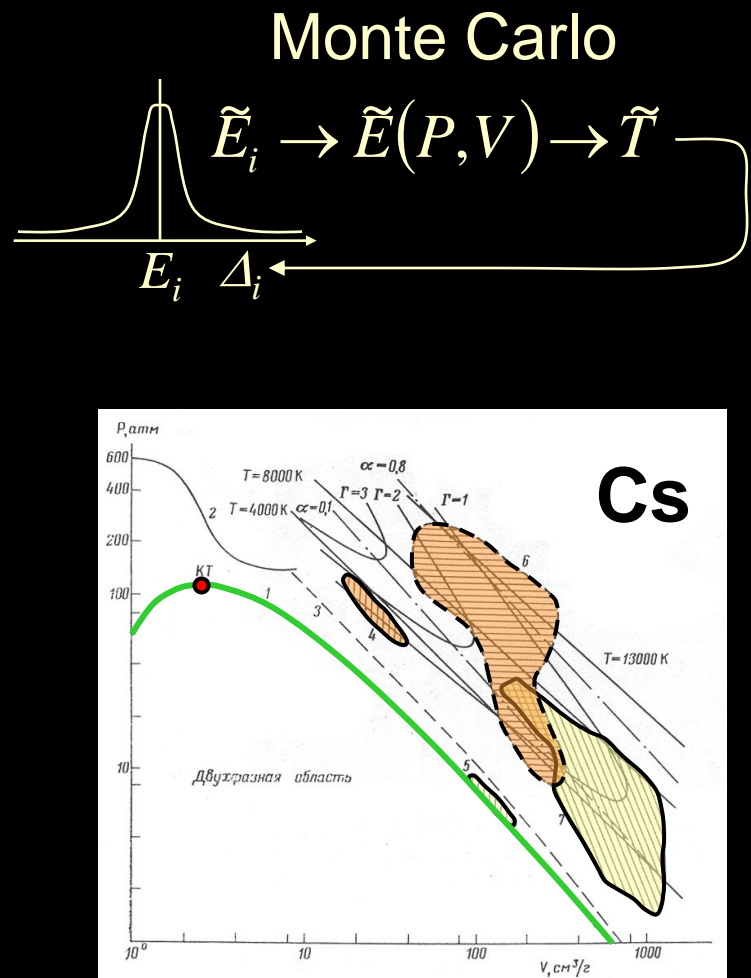
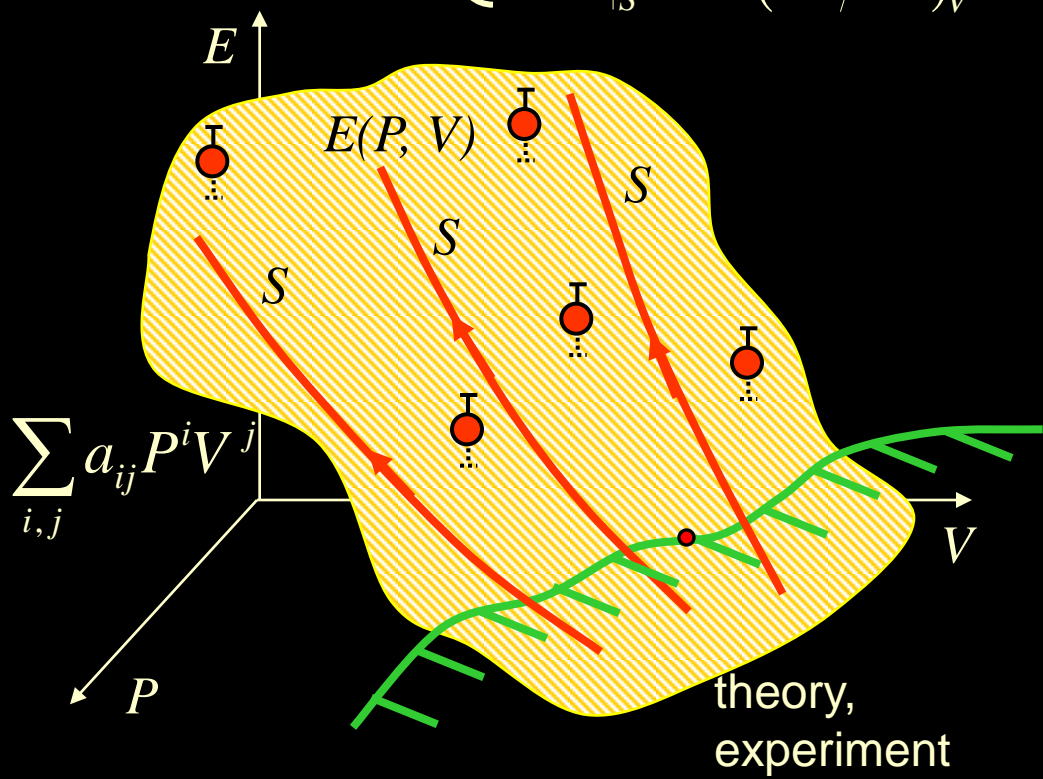
$$D, U, E, P, V$$

↓

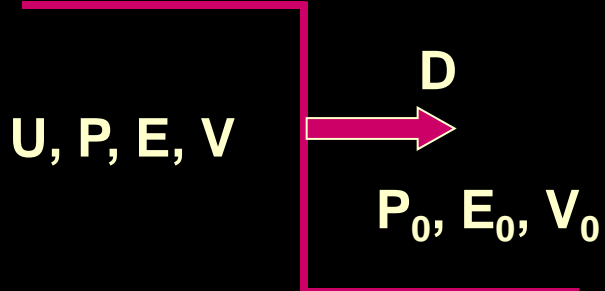
$$E = E(P, V)$$

$$TdS = dE + PdV \rightarrow \left[P + \left(\frac{\partial E}{\partial V} \right)_P \right] \frac{\partial T}{\partial P} - \left(\frac{\partial E}{\partial P} \right)_V \frac{\partial T}{\partial V} = T$$

$$\left\{ \begin{array}{l} \frac{dP}{dV} \Big|_S = - \frac{P + (\partial E / \partial V)_P}{(\partial E / \partial P)_V} \\ \frac{dT}{dV} \Big|_S = - \frac{T}{(\partial E / \partial P)_V} \end{array} \right. \quad \text{Monte Carlo}$$




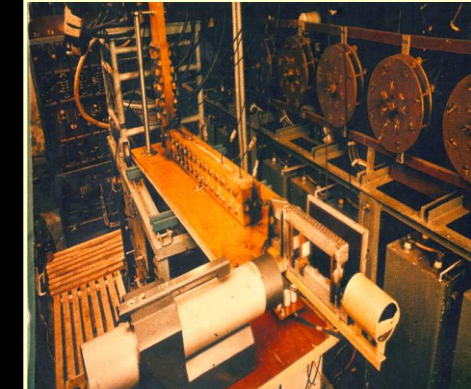
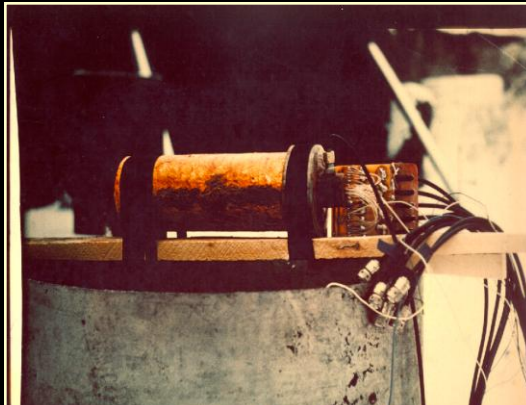
ДИНАМИЧЕСКИЕ МЕТОДЫ



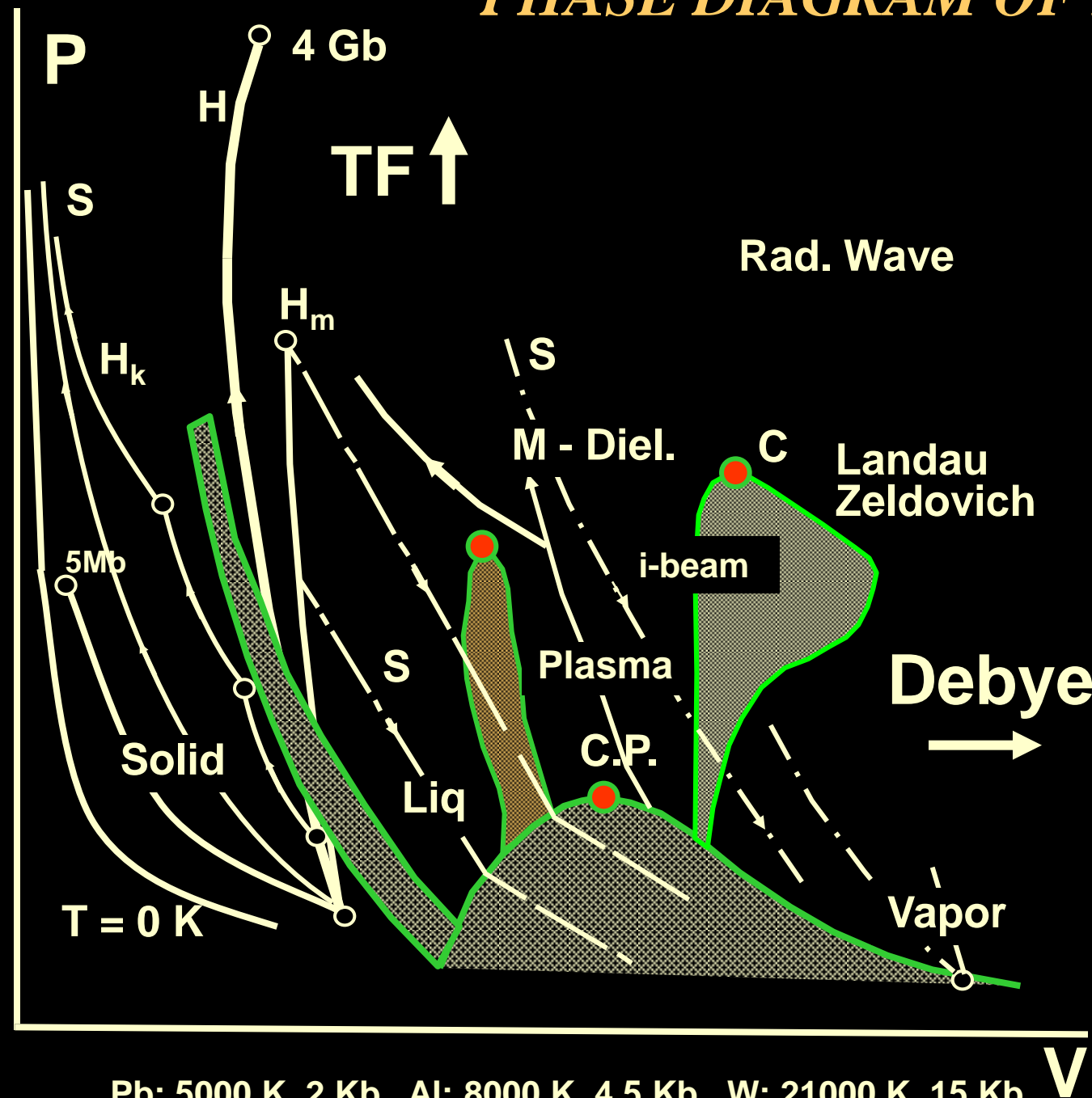
shock compression

Hugoniot relations

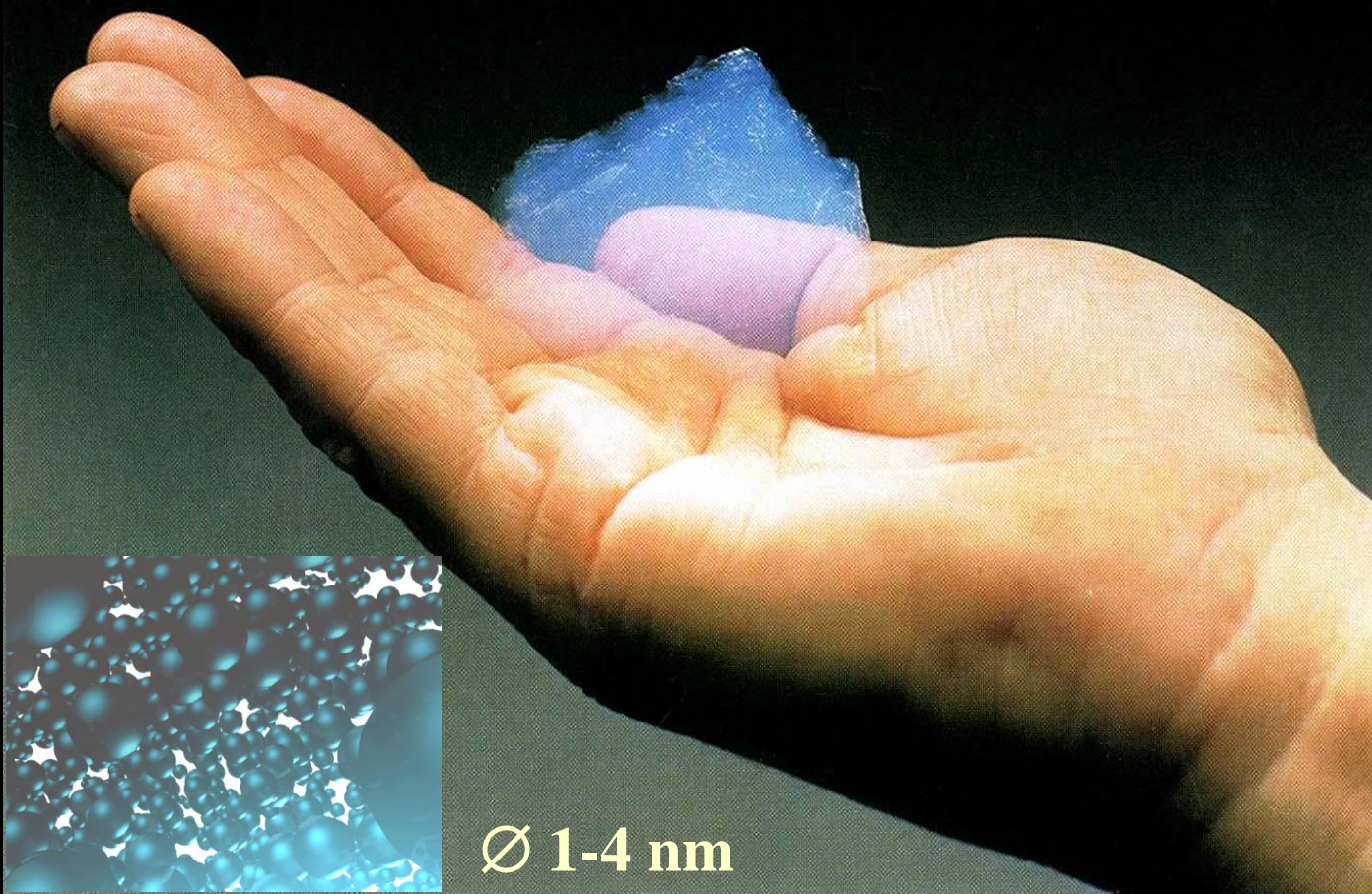
$$\begin{aligned}V_o/V &= D/(D-U) \\P &= P_o + DU/V_o \\E &= E_0 + 1/2(V_0-V)(P_0+P)\end{aligned}$$



PHASE DIAGRAM OF MATTER



СЖАТИЕ ПОРИСТЫХ МИШЕНЕЙ



$\varnothing 1\text{-}4 \text{ nm}$

$$E = P(V_{00} - V)/2$$



Porous Metals

$$m = \rho_0 / \rho_{00} \leq 10$$

$$P \leq 10 \text{ Mbar}$$

$$E \sim 10 \text{ MJ/cc}$$

Aerogel

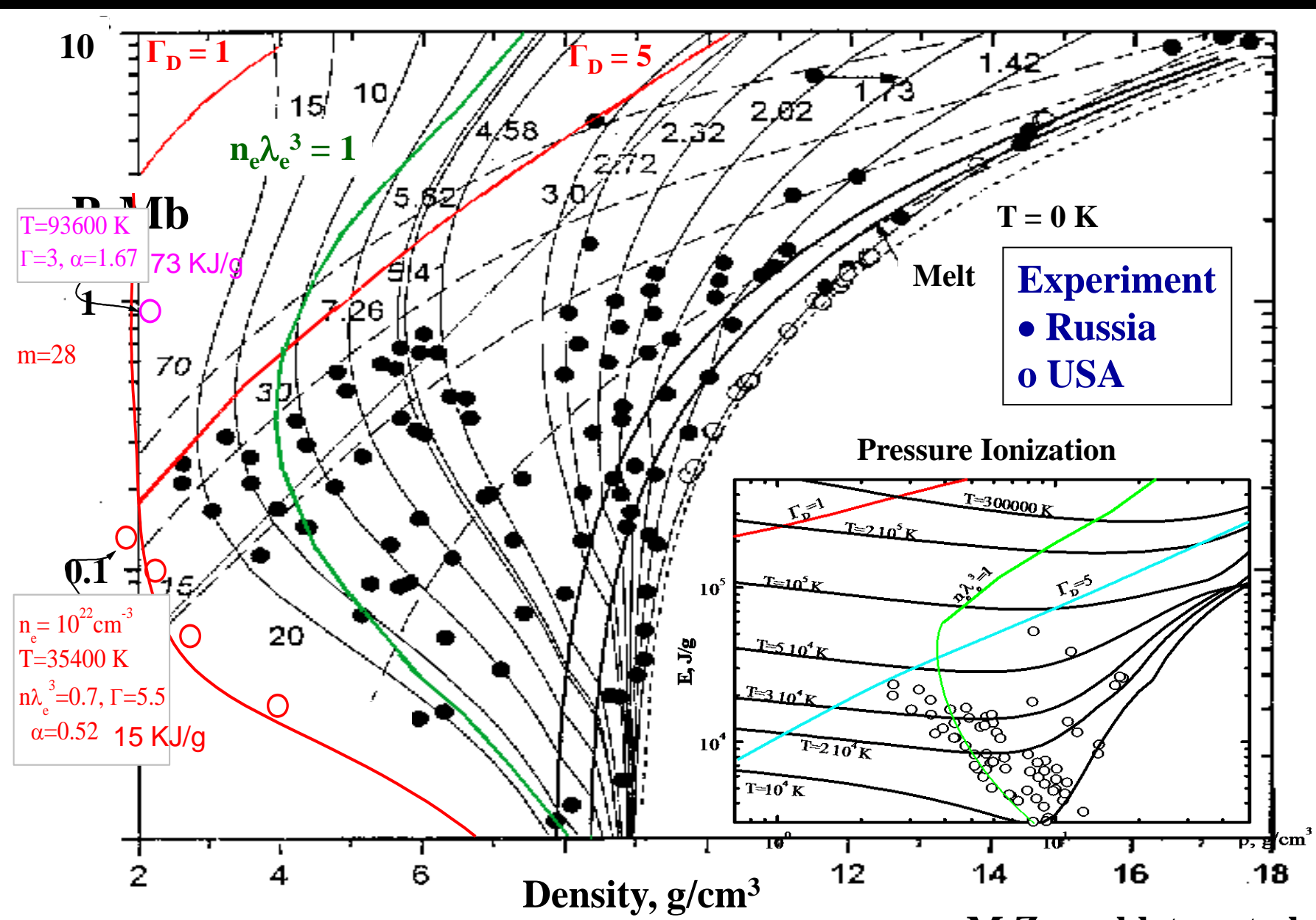
$$m \sim 10^2 \text{-} 10^3$$

$$\rho_{00} \sim 10 \text{ mg/cc}$$

$$P \sim 0.1 \text{ Mb}$$

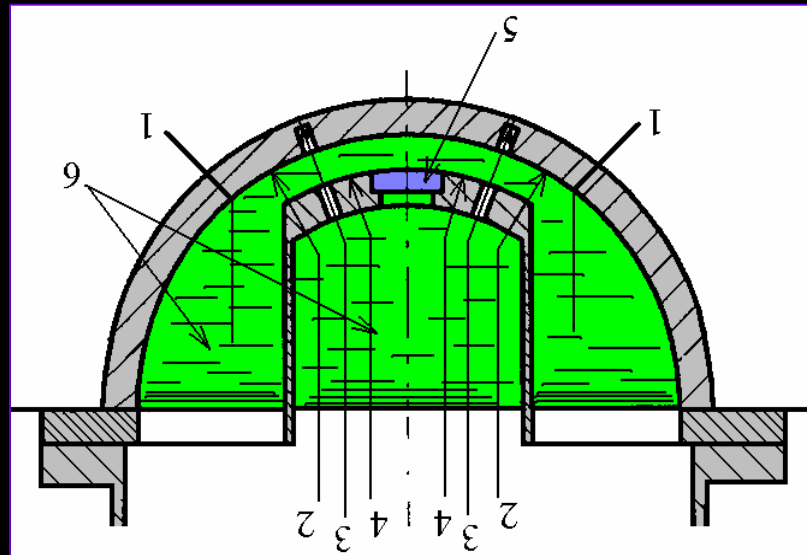
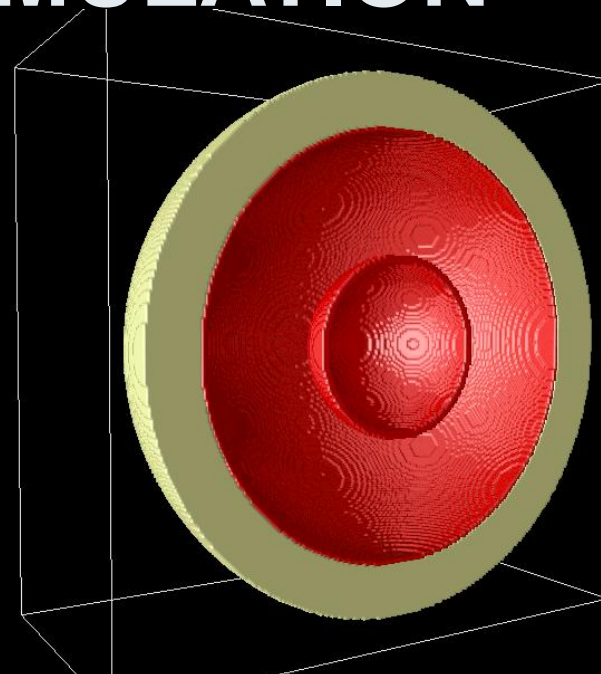
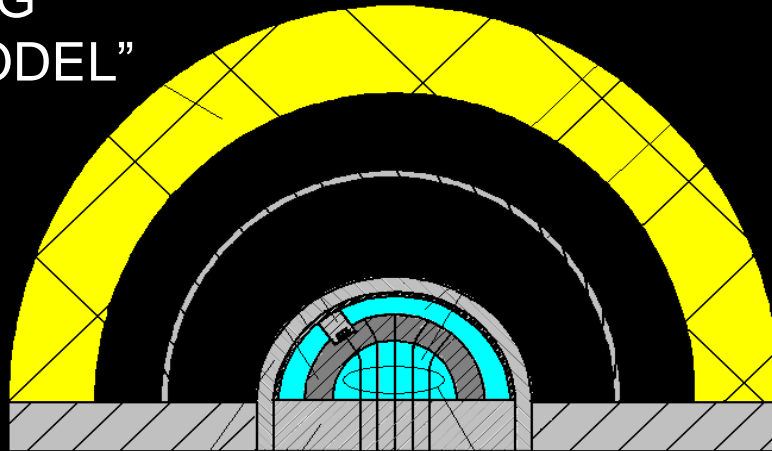
Ni PLASMA THERMODYNAMICS AT MEGABARS

$$E = P(V_{00} - V)/2$$



SPHERICAL CUMULATION

“BIG
MODEL”

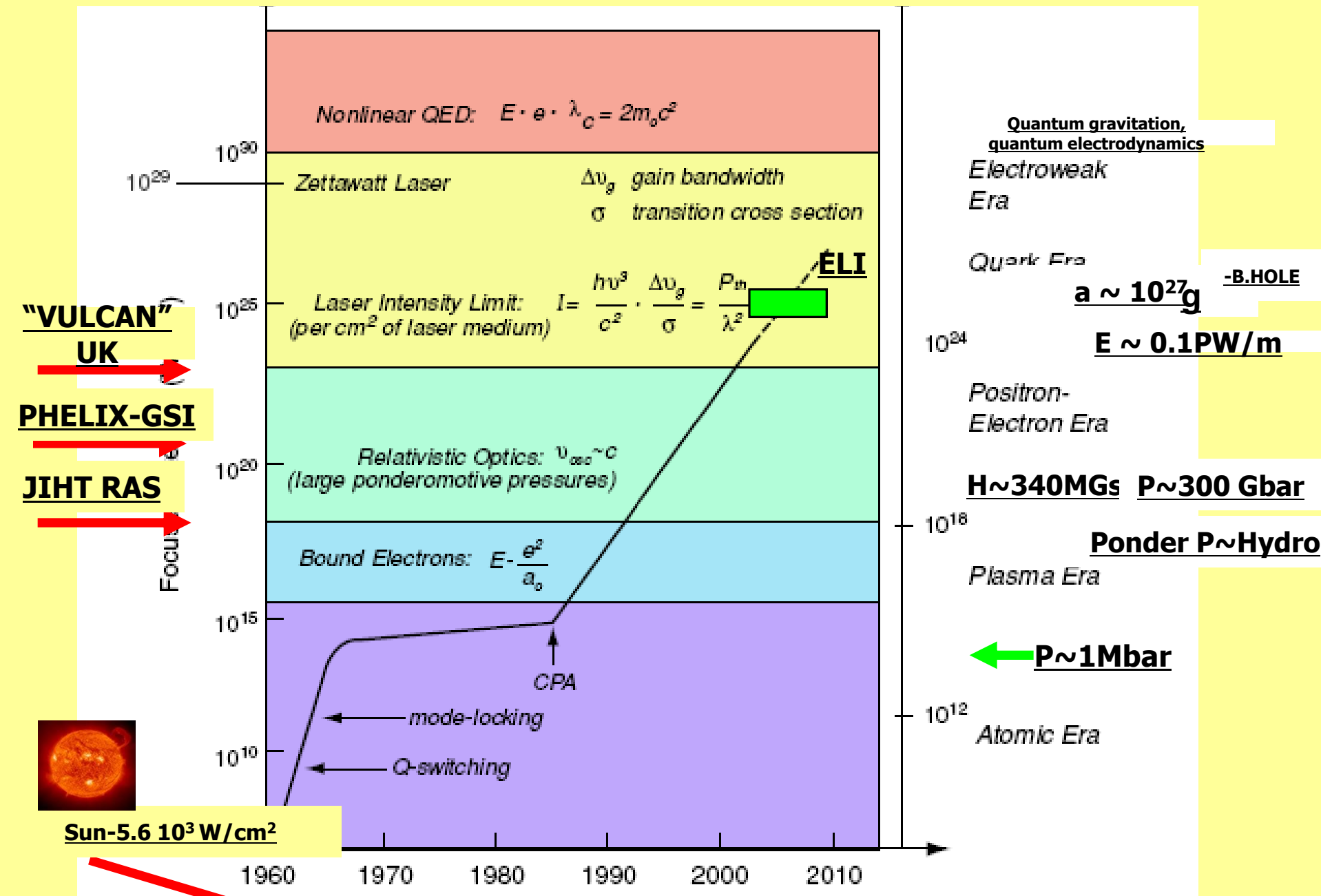


Cryogenic Target



Power ~ 5 TW, Energy ~ 500 MJ, HE weight 100 kg

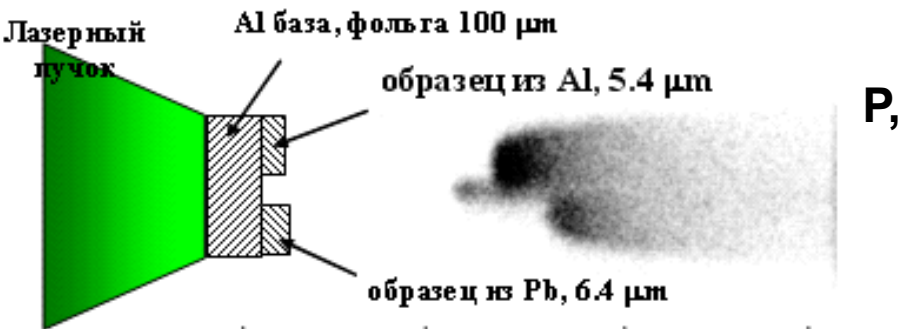
TIME DEPENDENT OF LASER INTENSITY





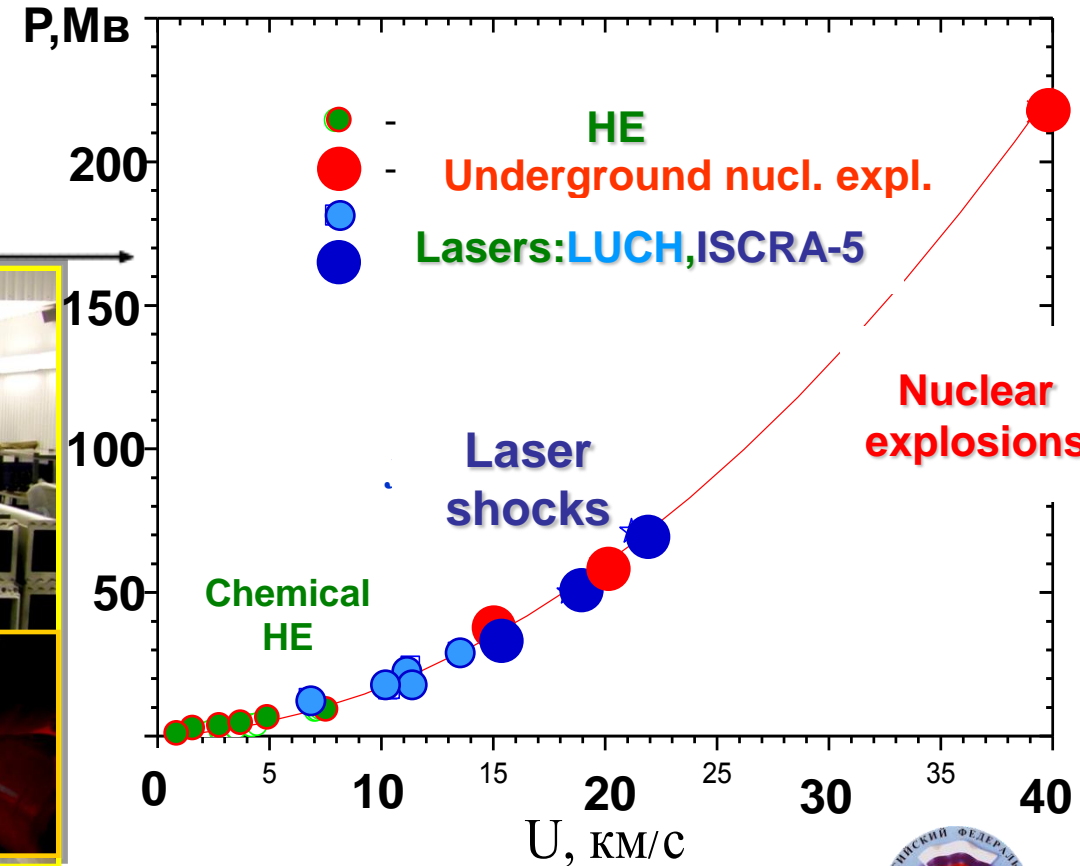
Laser shock compression of Pb nonideal plasma

Plasma parameters registration

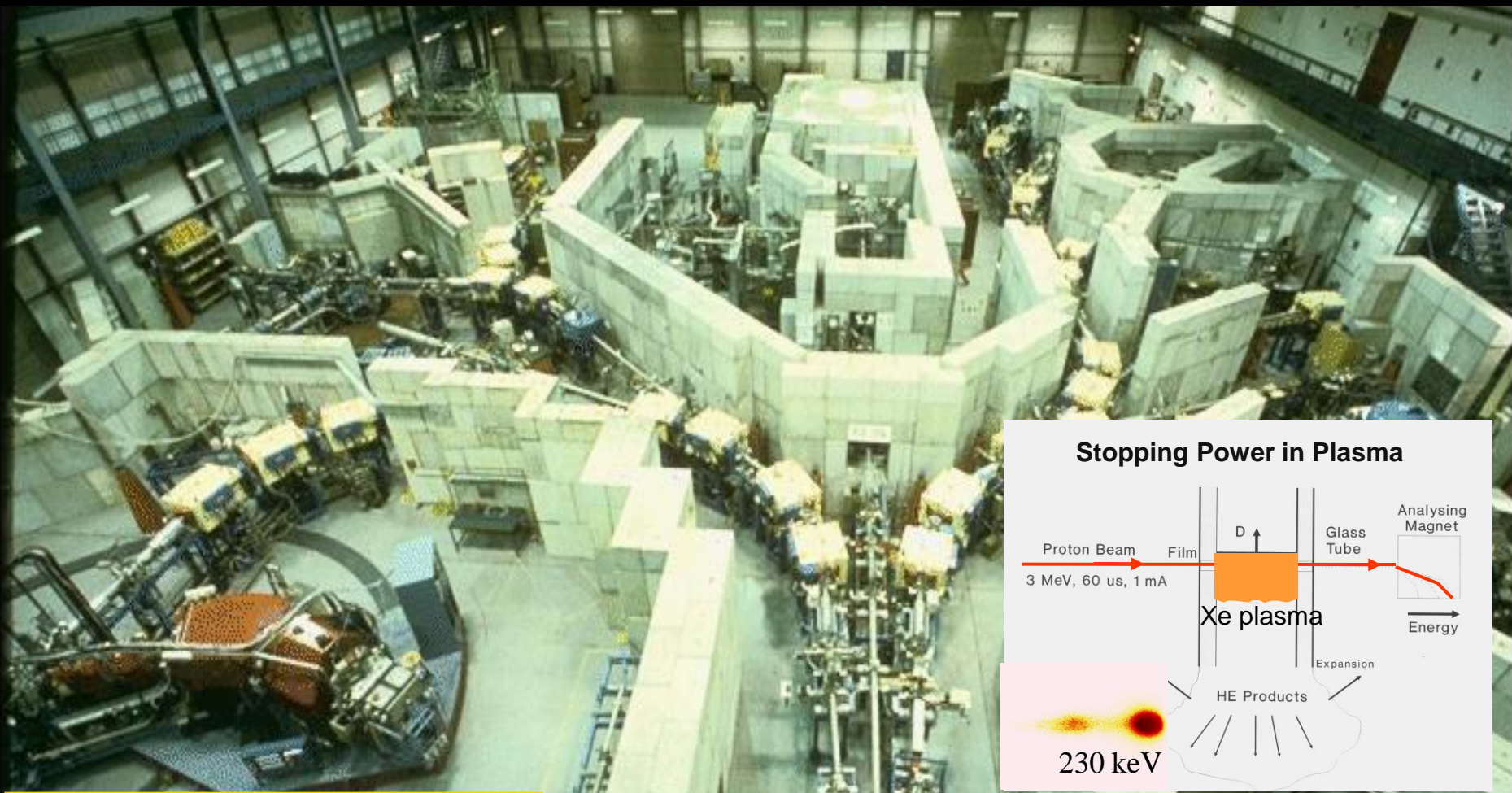


Plasma pressure -71 Mbar

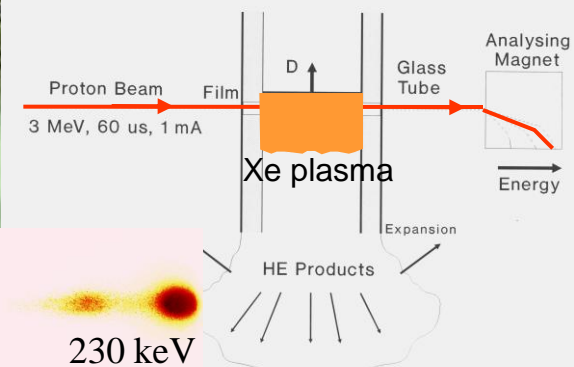
Pb nonideal plasma pressure



Relativistic Ion Beam-Plasma Interaction at 4 GeV



Stopping Power in Plasma

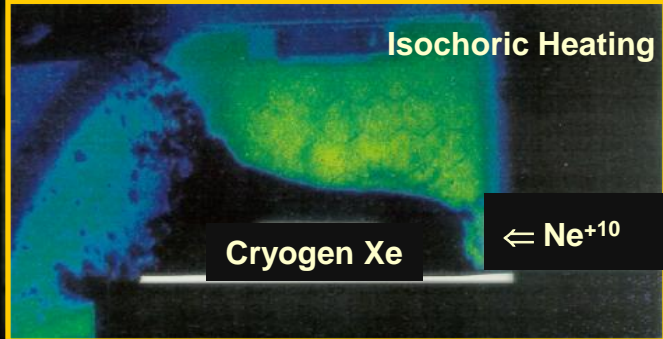


Isochoric Heating

Cryogen Xe

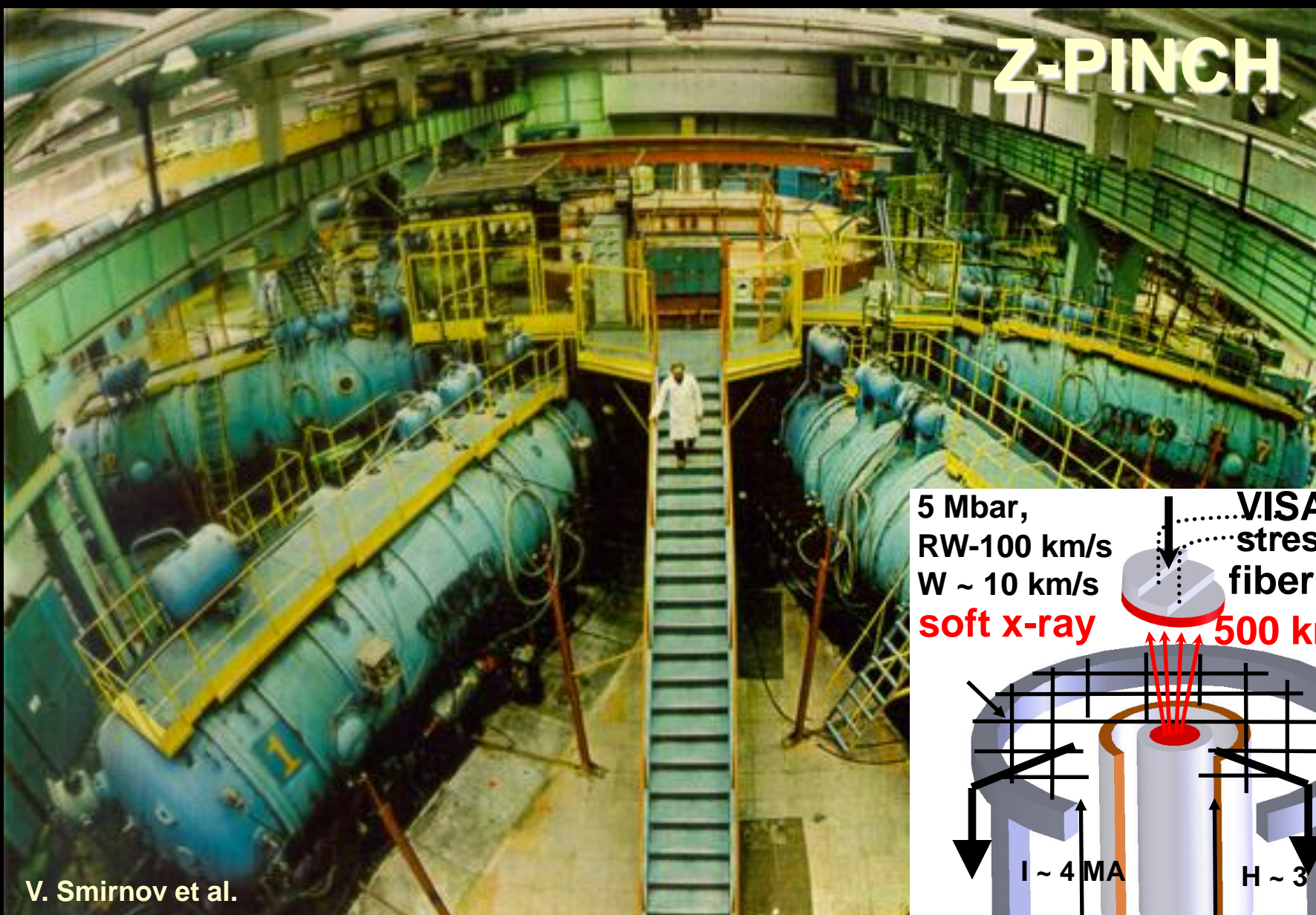
$\Leftarrow \text{Ne}^{+10}$

A. Hoffmann,
B. Sharkov, V. Mintzhev
et al.

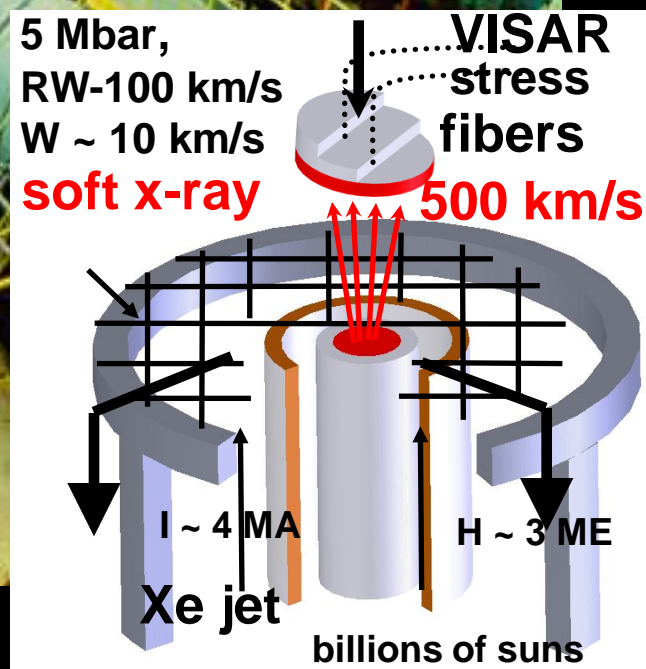


PULSED POWER FOR SHOCK WAVE

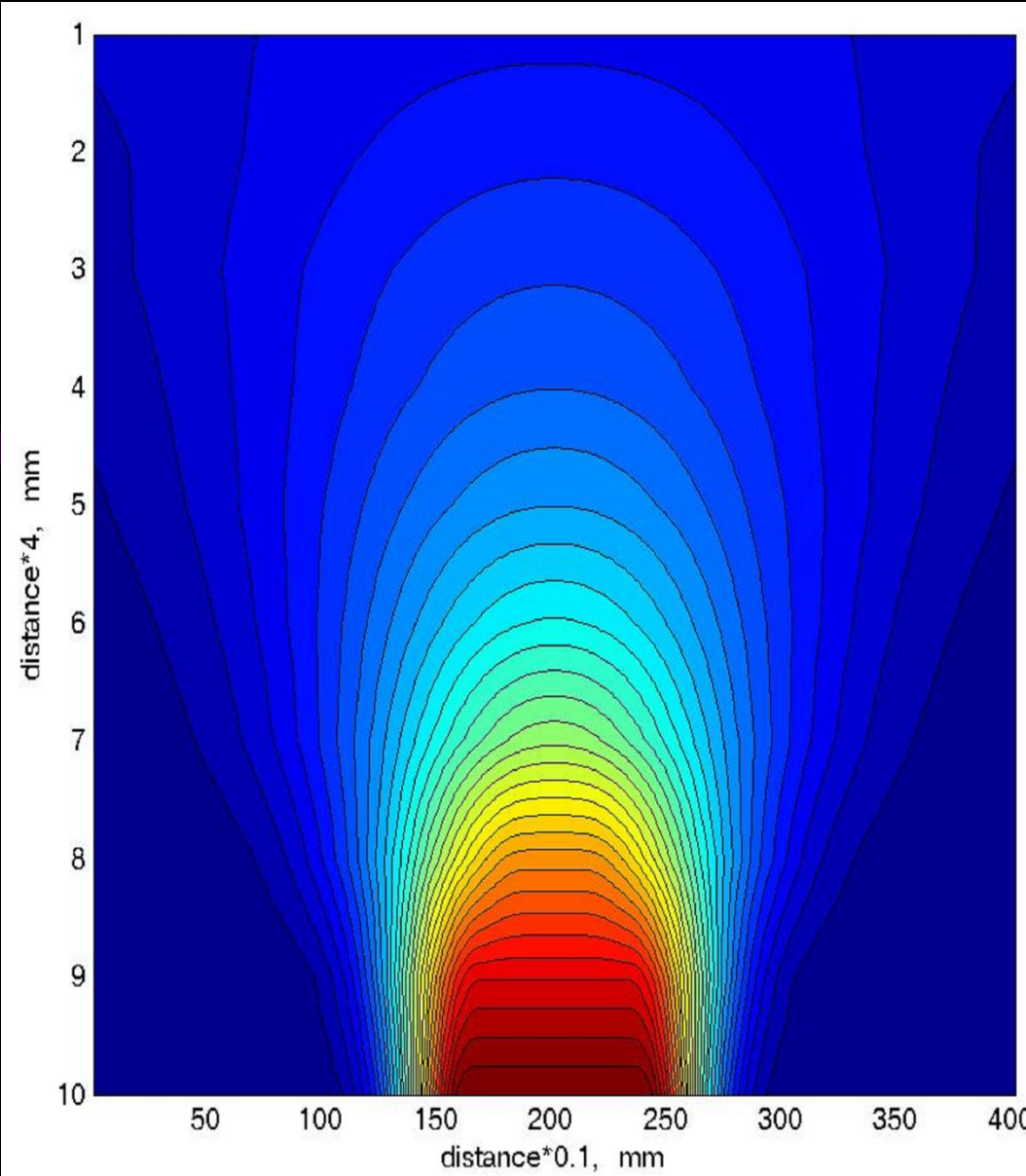
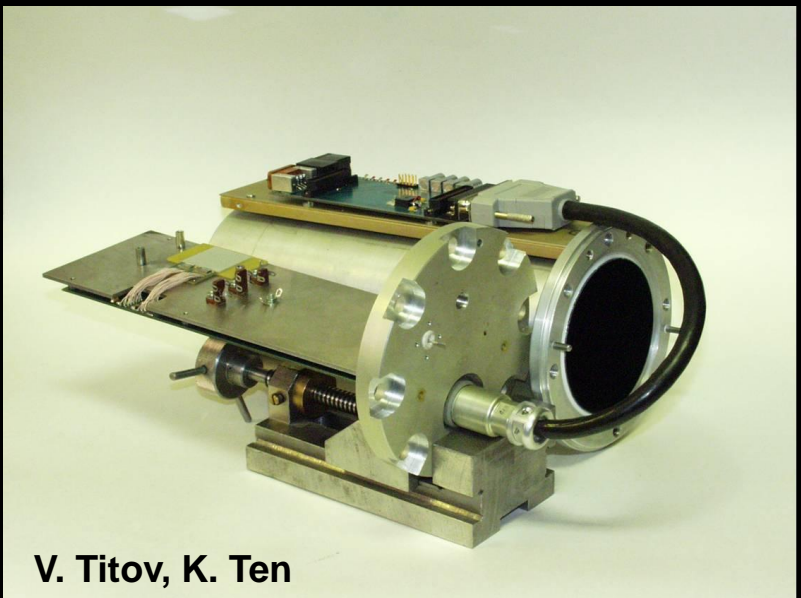
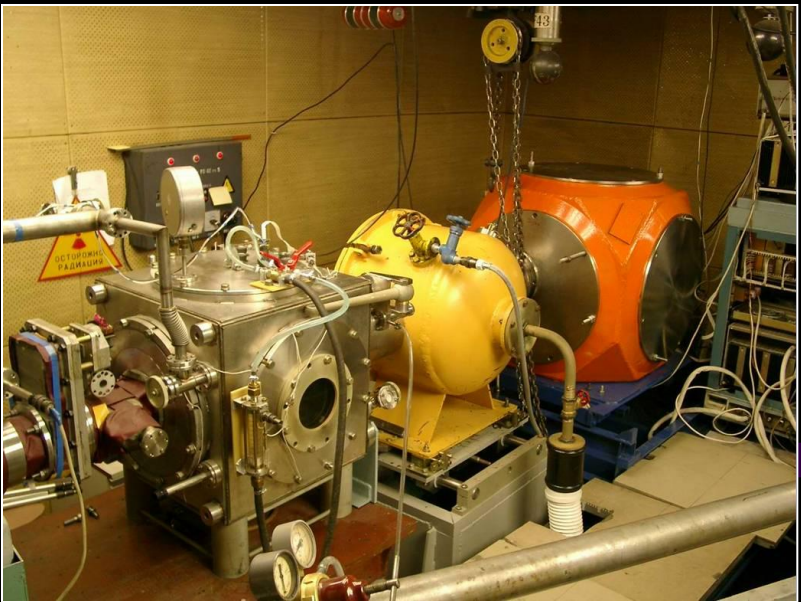
Z-PINCH



$Q \sim 60 \text{ KJ}$, $\tau \sim 90 \text{ ns}$, $W \sim 10 \text{ TW}$, $J \sim 6 \text{ MA}$

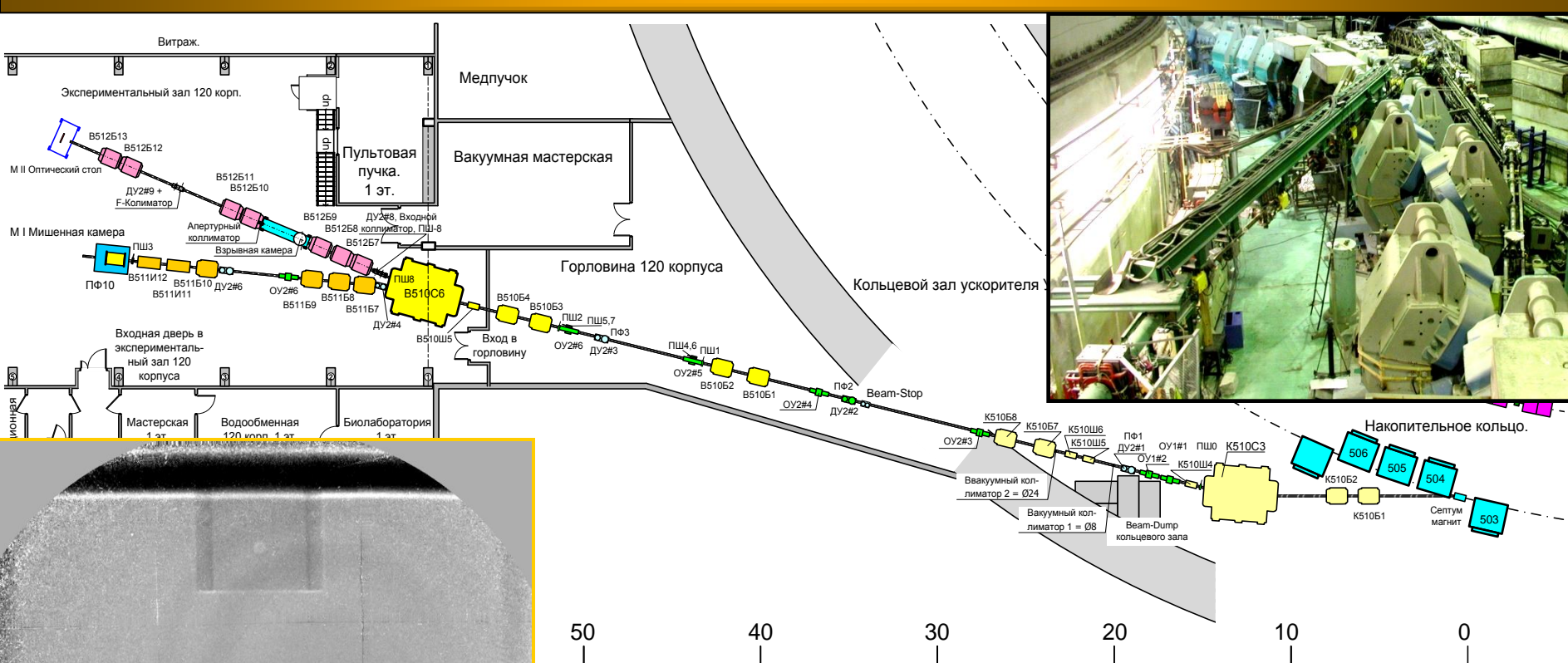


SINCHROTRON RADIATION. DENSITY DISTRIBUTION OF CYLINDRICAL HE DETONATION



V. Titov, K. Ten

PROTON RADIOGRAPHY- ТВН-ИТЭФ



Параметры протонно-радиографической установки:

Энергия протонов

800 МэВ

Поле зрения

до 40 мм

Исследуемые объекты

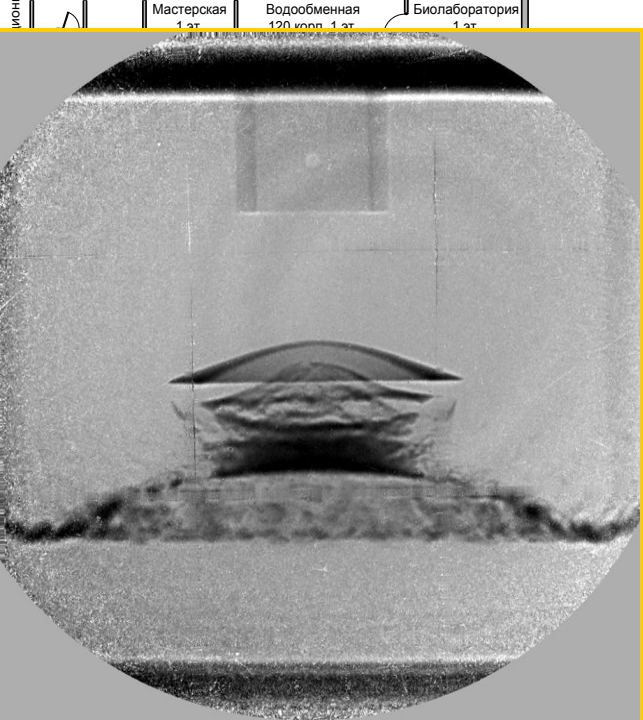
до 60 г/см²

Пространственное разрешение

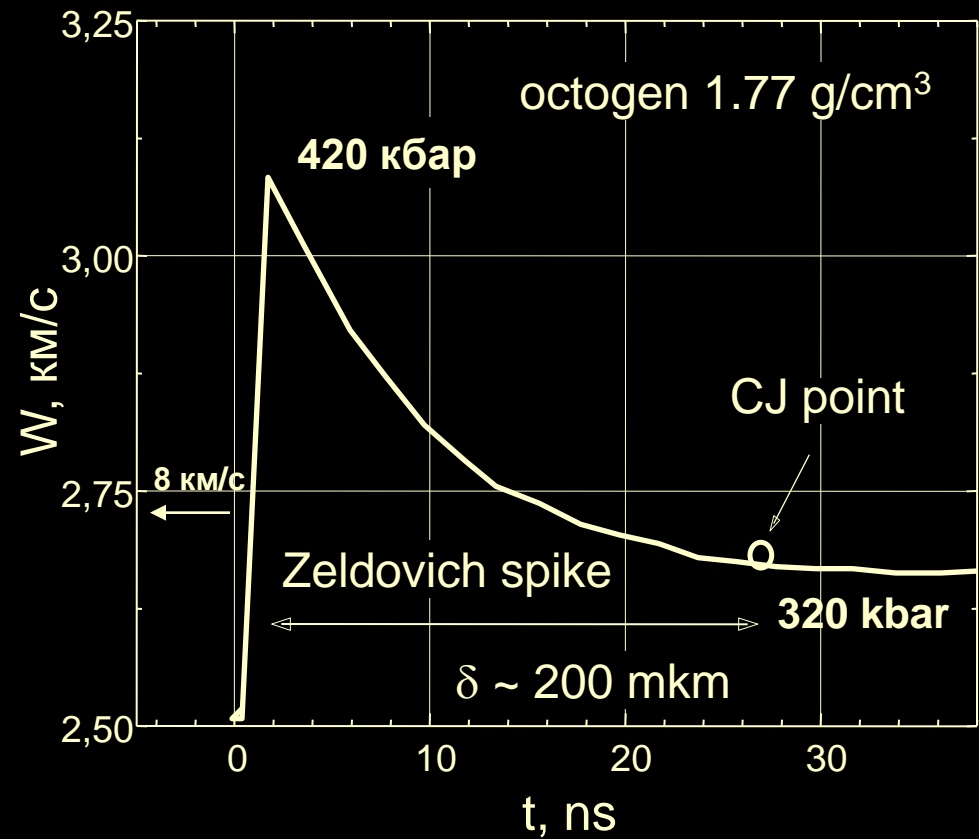
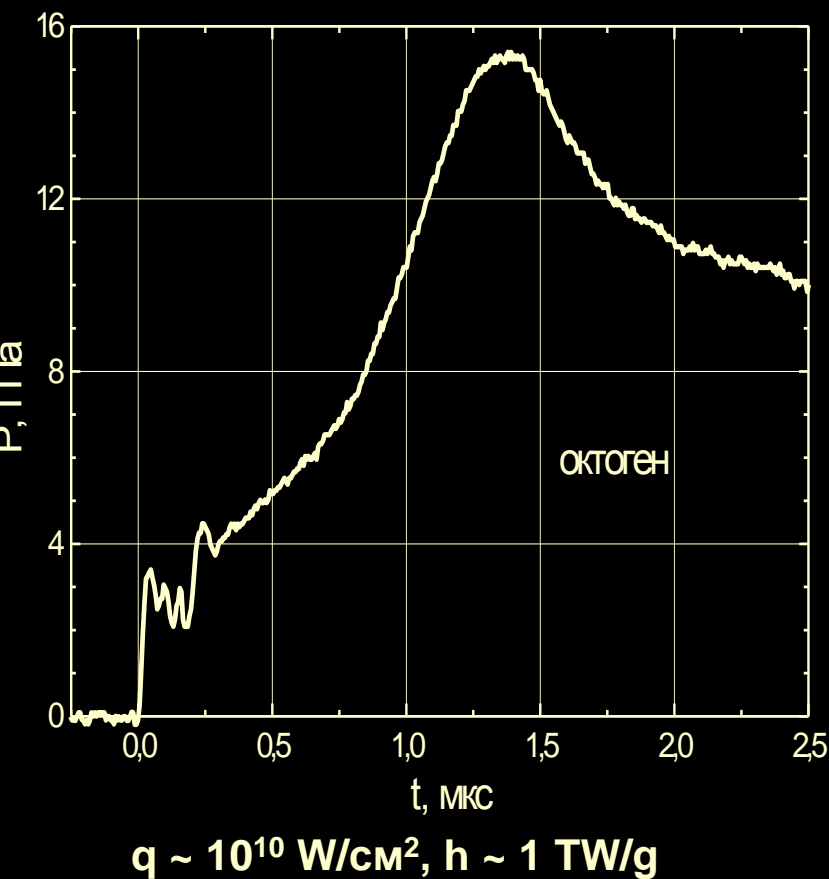
**текущее ~ 500 мкм,
теоретическое ~ 50 мкм**

Временная структура пучка

4 пакета / 1 мкс



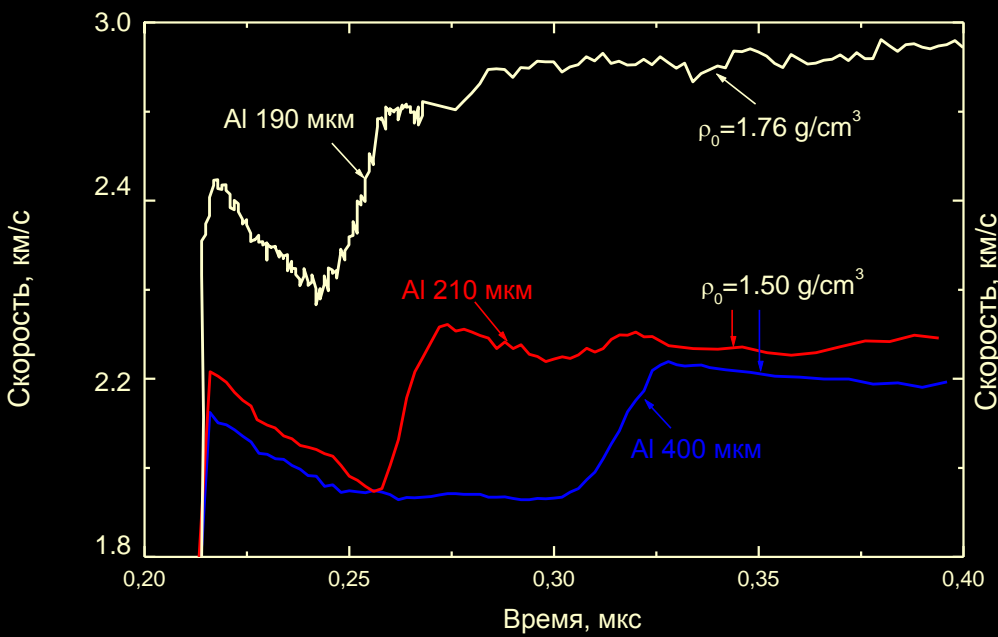
HE CHEMICAL DECOMPOSITION KINETICS IN SHOCK AND DETONATION WAVES



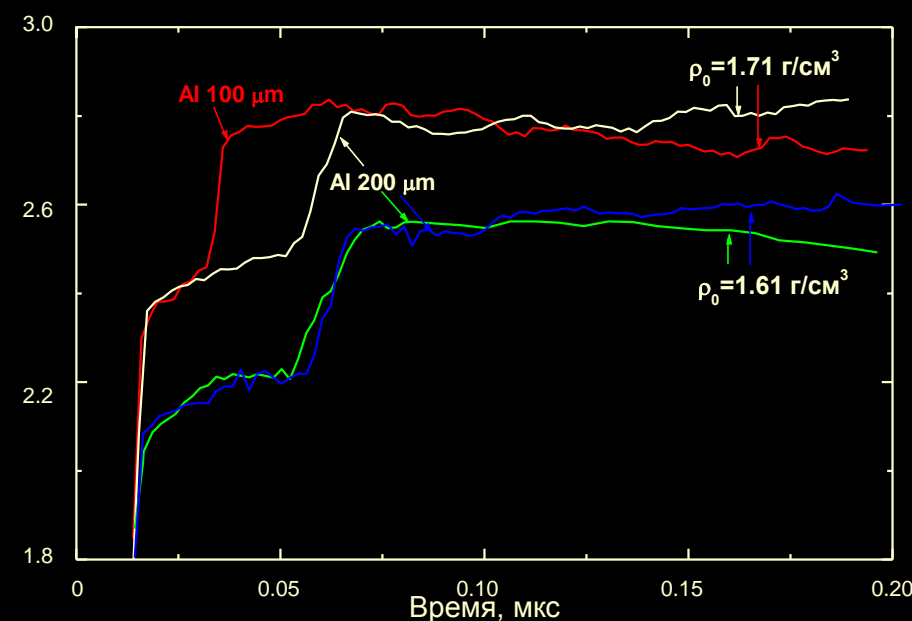
STATIONARY DETONATION WAVE WITHOUT CHEMICAL SPIKE IN TNETB

2',2',2'-ТРИНИТРОЭТИЛ-4,4,4-ТРИНИТРОБУТИРАТ
кислородный баланс = -4.15%, плотность монокристалла = 1.839 г/см³

При $\rho_0 < 1.56 \text{ г/см}^3$
и $\rho_0 > 1.72 \text{ г/см}^3$
регистрируется химпик

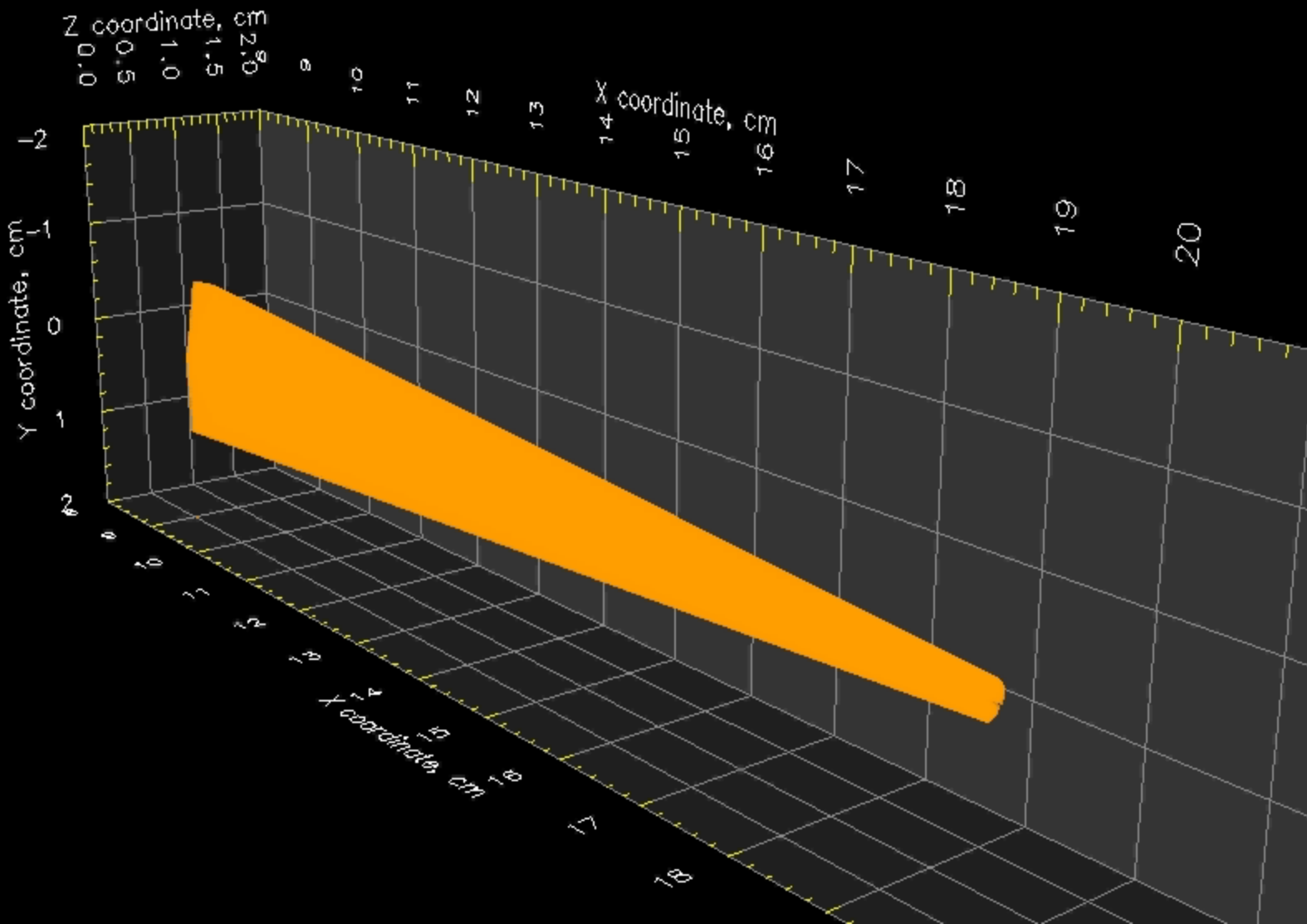


В интервале плотностей
 $1.56 \text{ г/см}^3 < \rho_0 < 1.72 \text{ г/см}^3$
химпик отсутствует

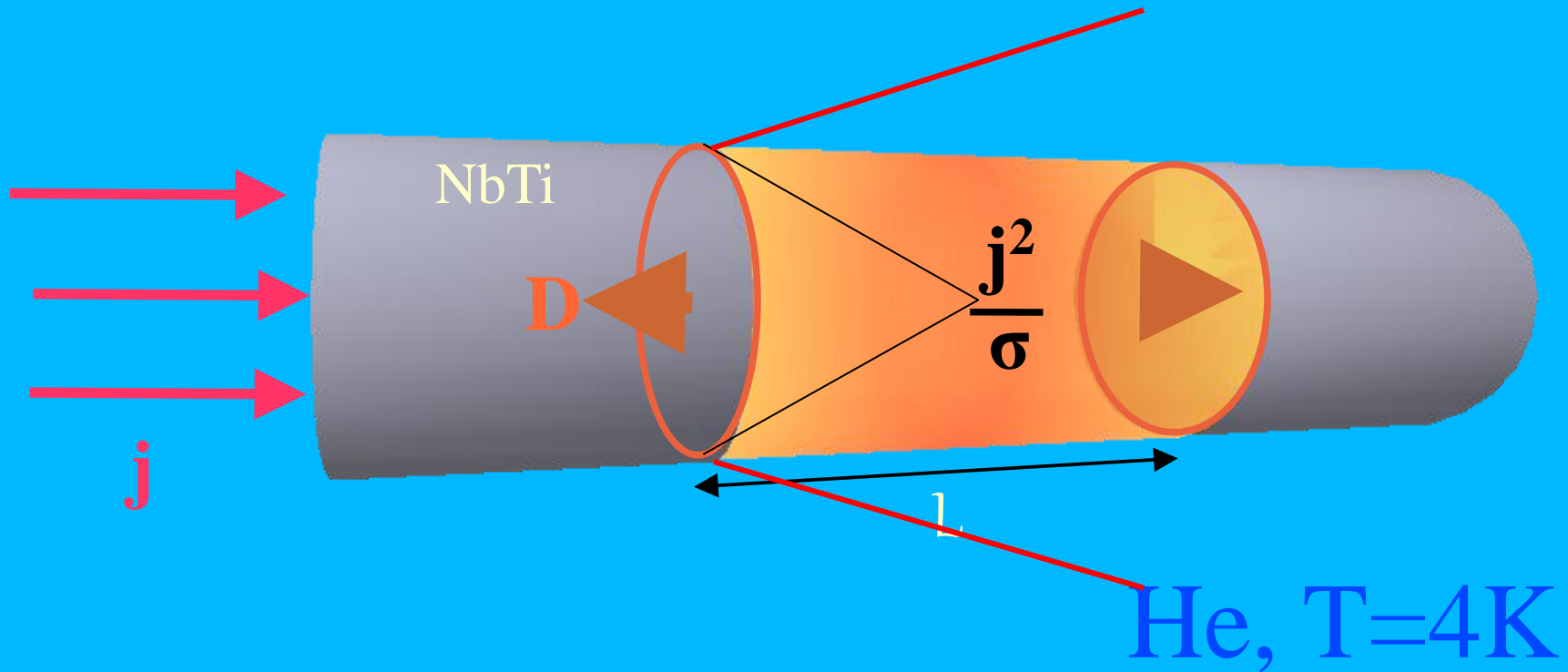


Скорость границы Al фольга – водяное окно при различной начальной плотности TNETB

FΔII / IIRF DIAMETER



ELECTRODETONATION



$$J^2 L / \sigma = \rho_0 D E(V, T)$$

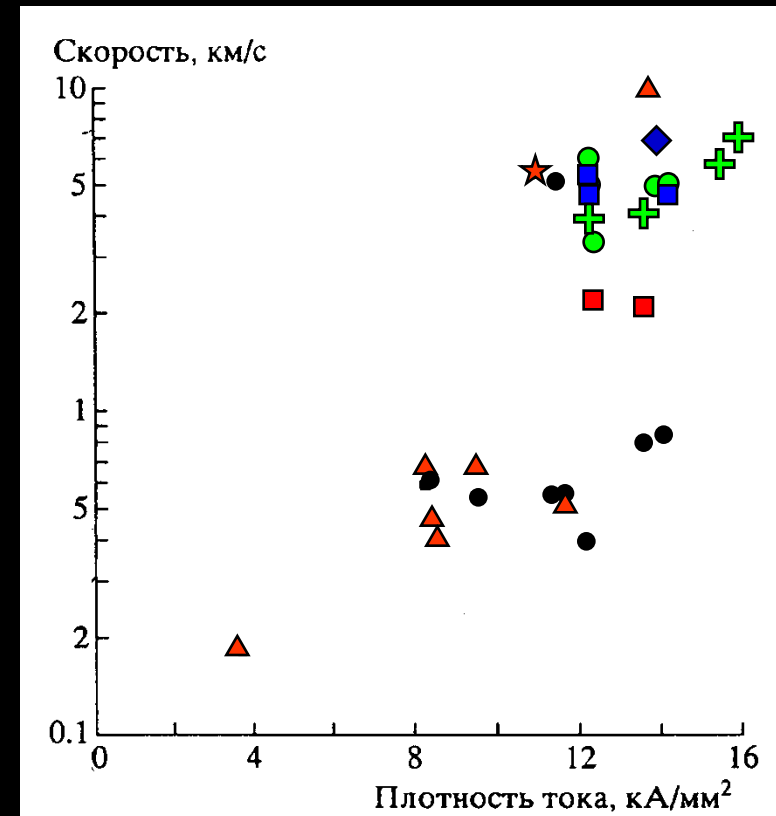
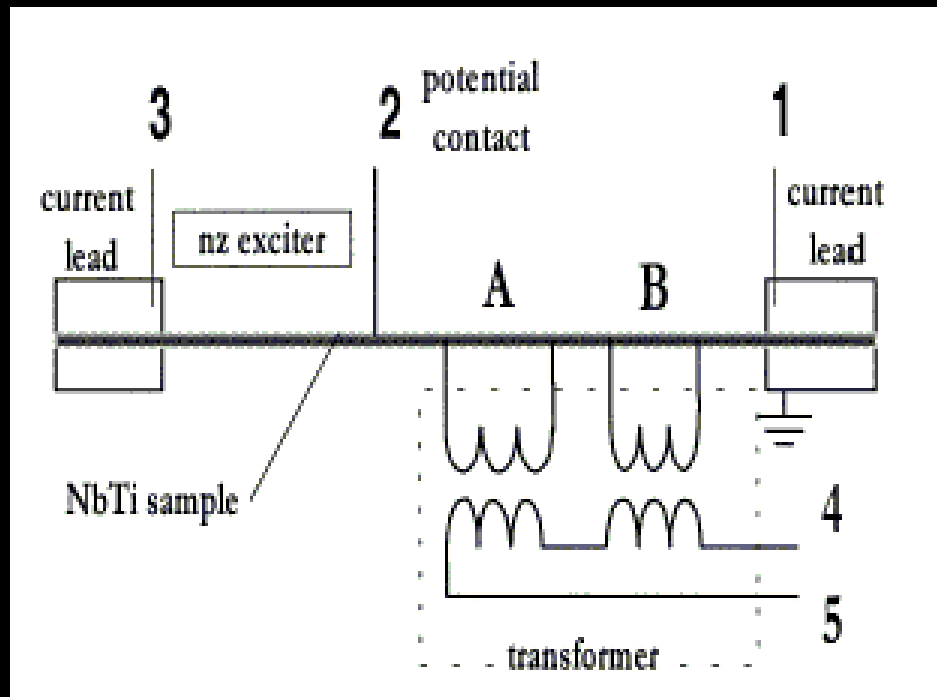
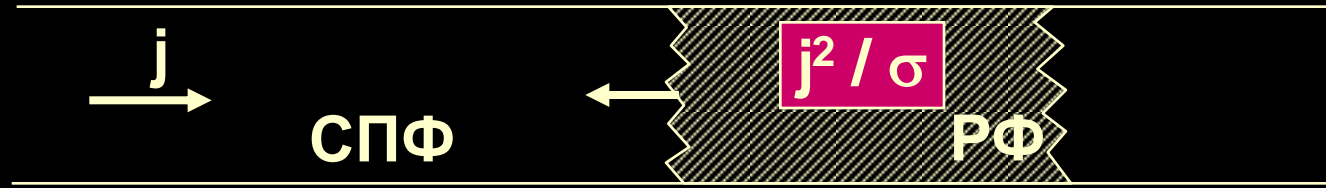
DYNAMICS

$$L \sim \frac{DR}{C_S}$$

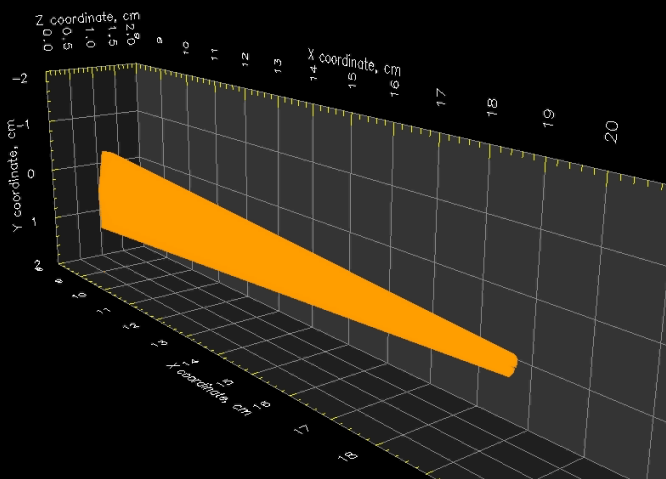
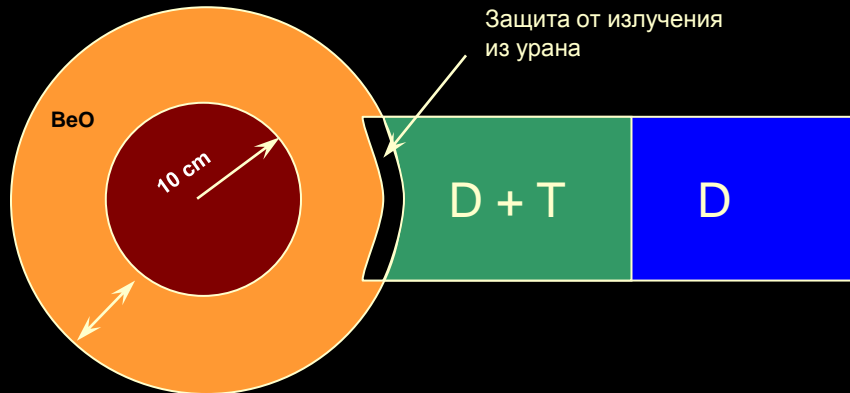
HEAT

$$L_\lambda \sim \frac{C_S C_P \rho}{\lambda} R^2$$

ELECTRO-DETONATION IN SUPERCONDUCTORS



«Классический Супер»



Описание Классического Супера,
с рукописным пояснением Я. Зельдовича

С.В. Соколов
Санкт-Петербург
1972г.

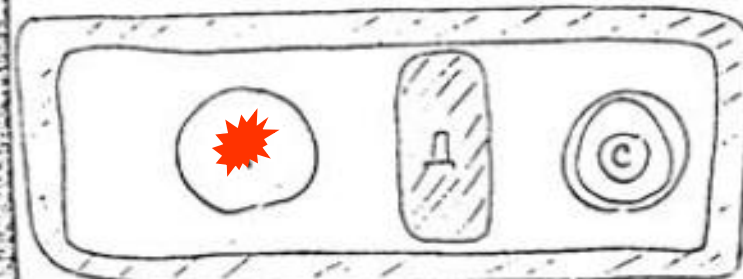
Поварину Харитону П.Б.

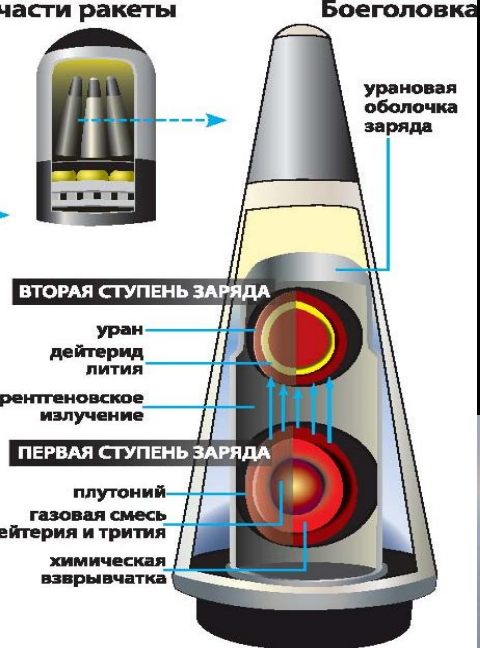
Об испытании изданной мною

членом общества Черниговской РГБ

В настоящей заметке сообщаются результаты
испытания схемы * устройства изд ав
предложенной в очеточном запечатле ии
журнала. Это практическое изд ав
предложено РД Заводским.

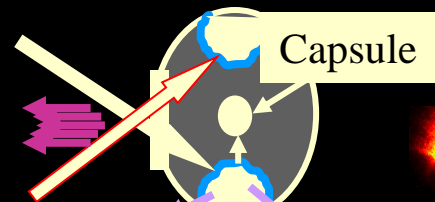
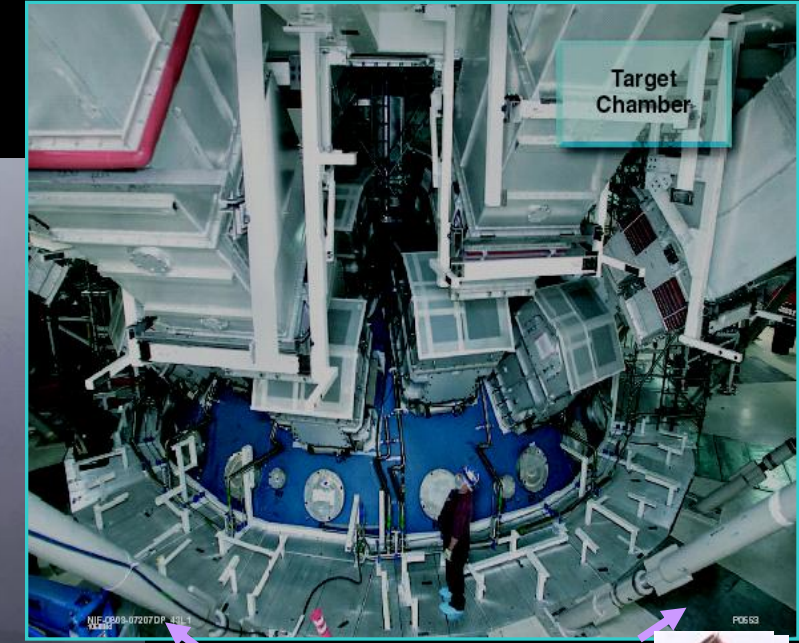
Список.



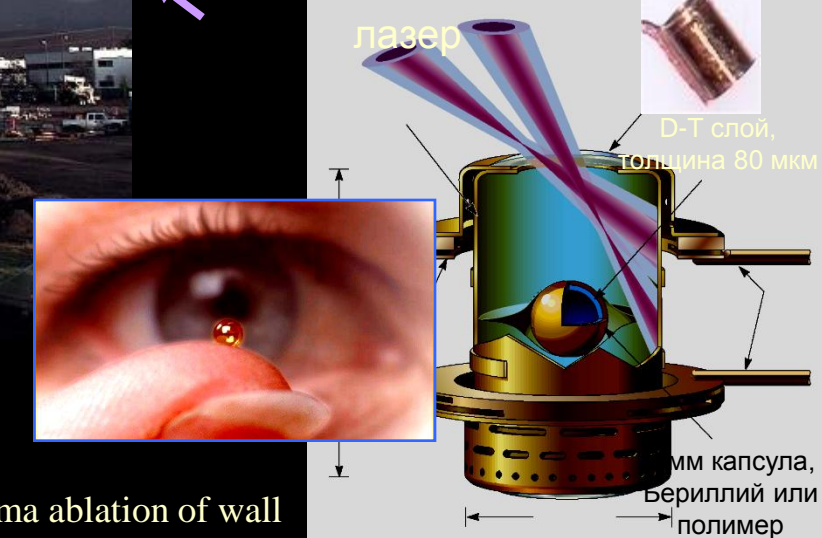


NIF, Ливерморская национальная лаборатория

192 Beams
 ~1.8MJ at 351nm



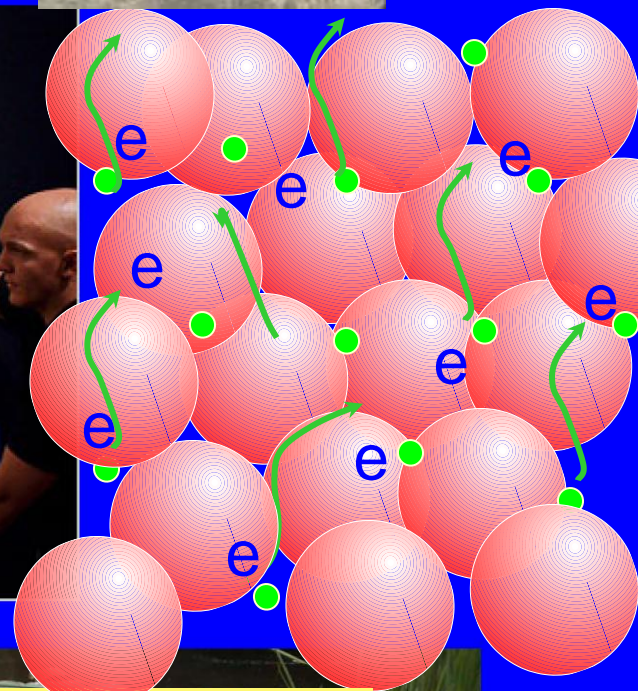
Plasma ablation of wall



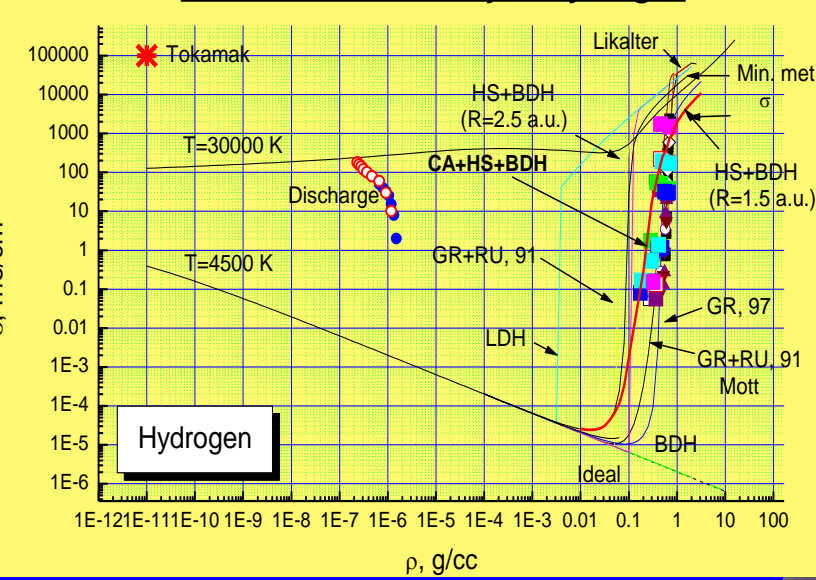
PRESSURE IONIZATION



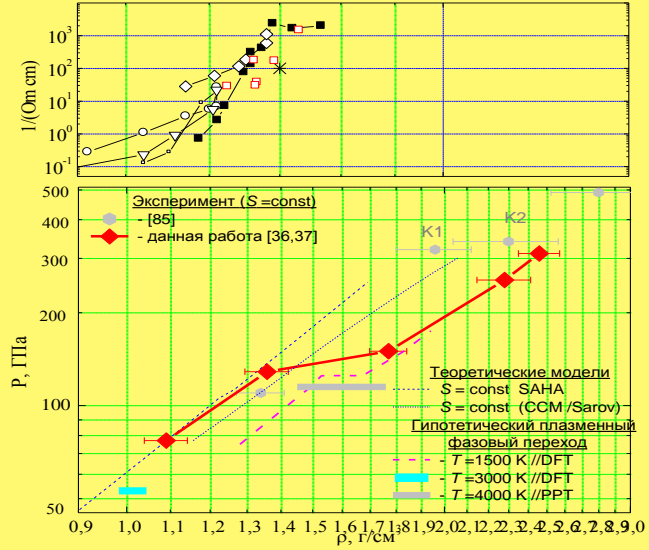
Claude Monet



HYDROGEN PRESSURE IONIZATION

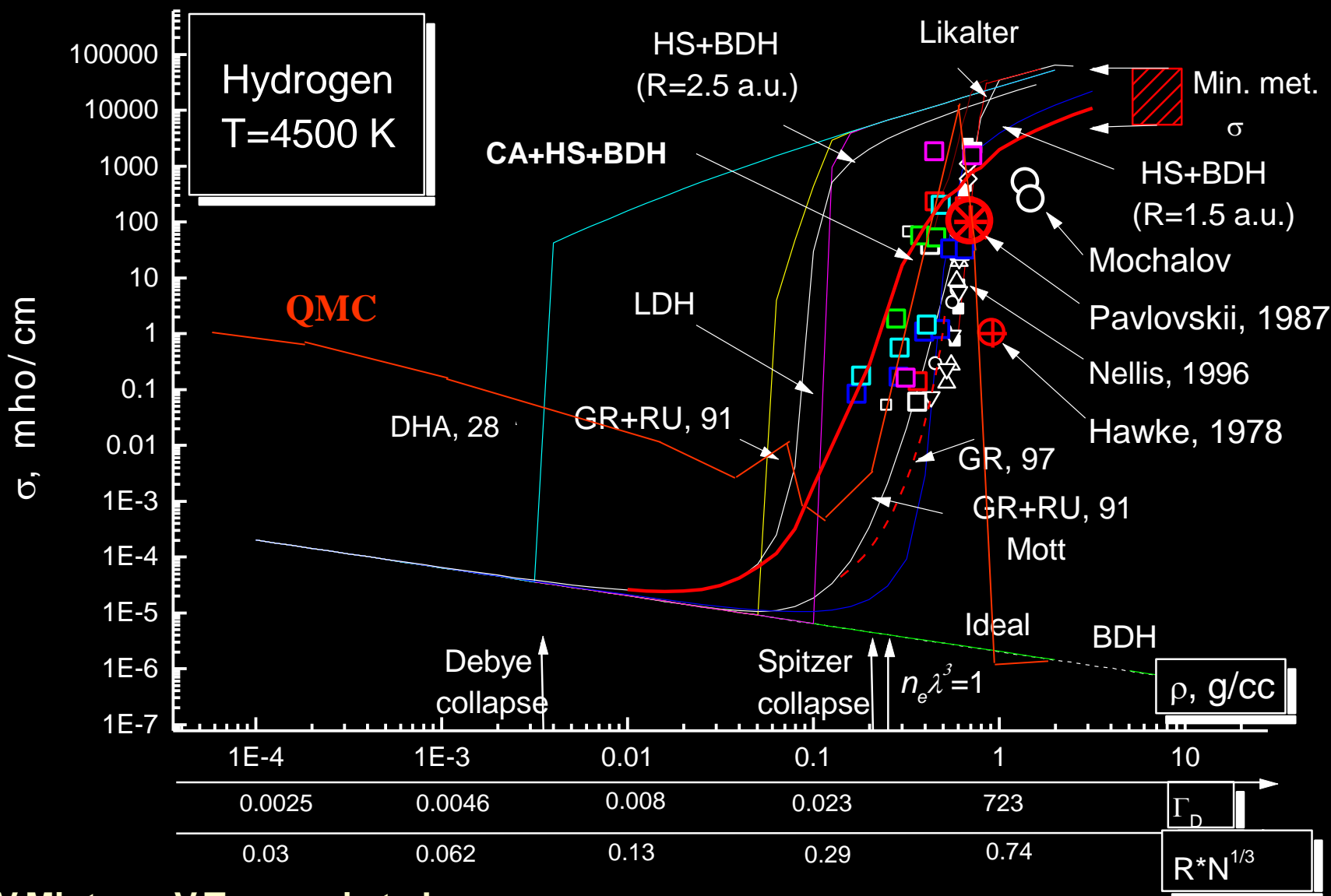


Plasma Phase Transition

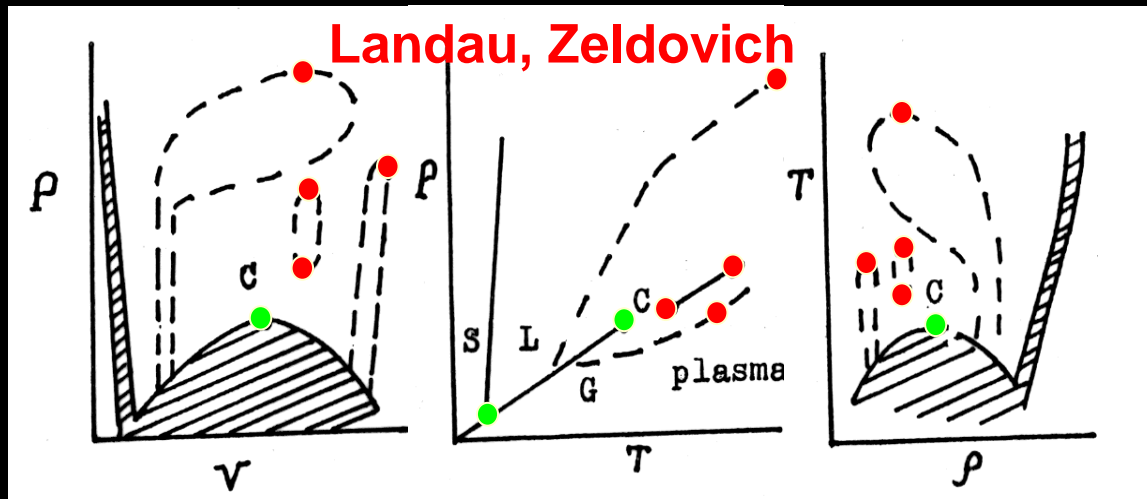


HYDROGEN PRESSURE IONIZATION

Electrical Conductivity of Hydrogen

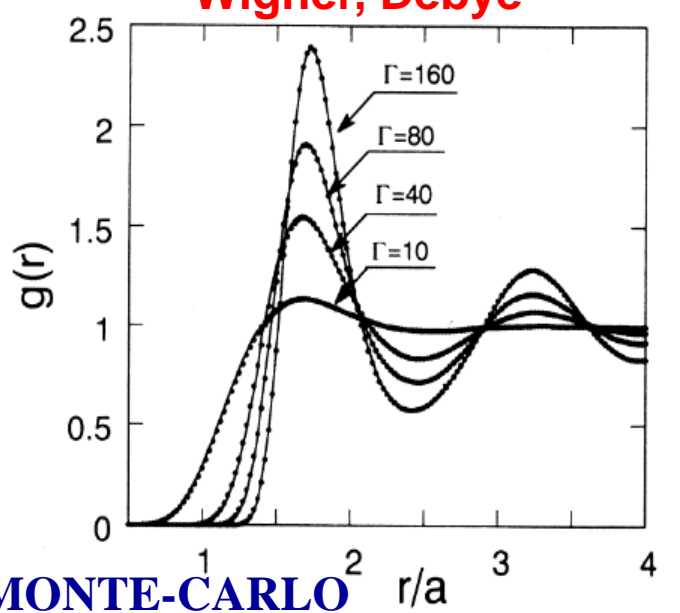


PHASE TRANSITIONS IN PLASMA



- dusty plasma
- colloidal plasma
- ions in traps
- ions in accelerators
- 2d electrons on He
- ie - plasma - ???

Wigner, Debye

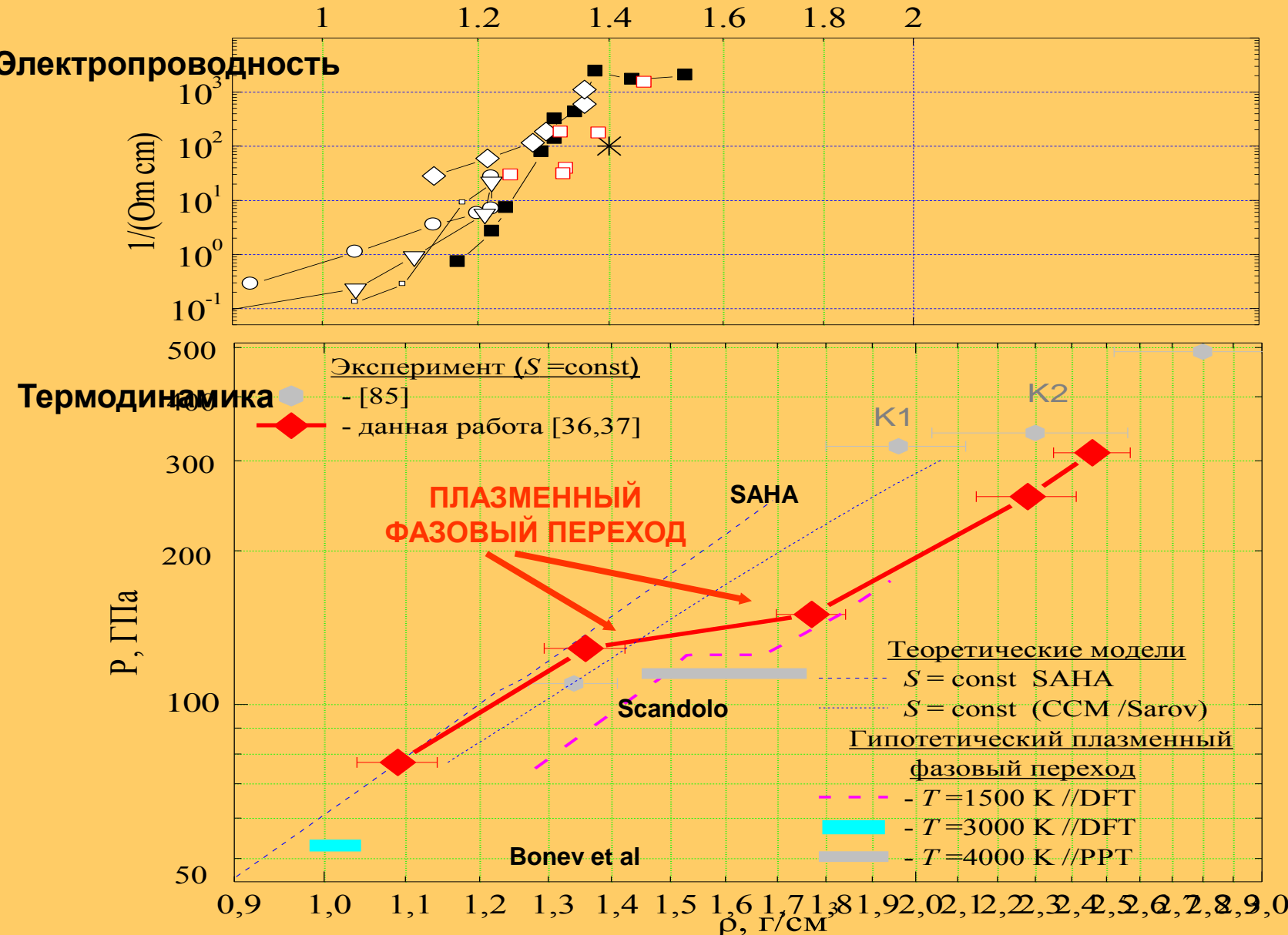


FERMI: Charge Density Waves $2 \leq r_s \leq 7$

Wigner Crystal $r_s \sim 75$ $\varepsilon_c \sim e^2 n^{1/3}$ $n \rightarrow 0$
 $\varepsilon_k \sim \varepsilon_f \sim n^{1/3}$ $\varepsilon_k < \varepsilon_c$

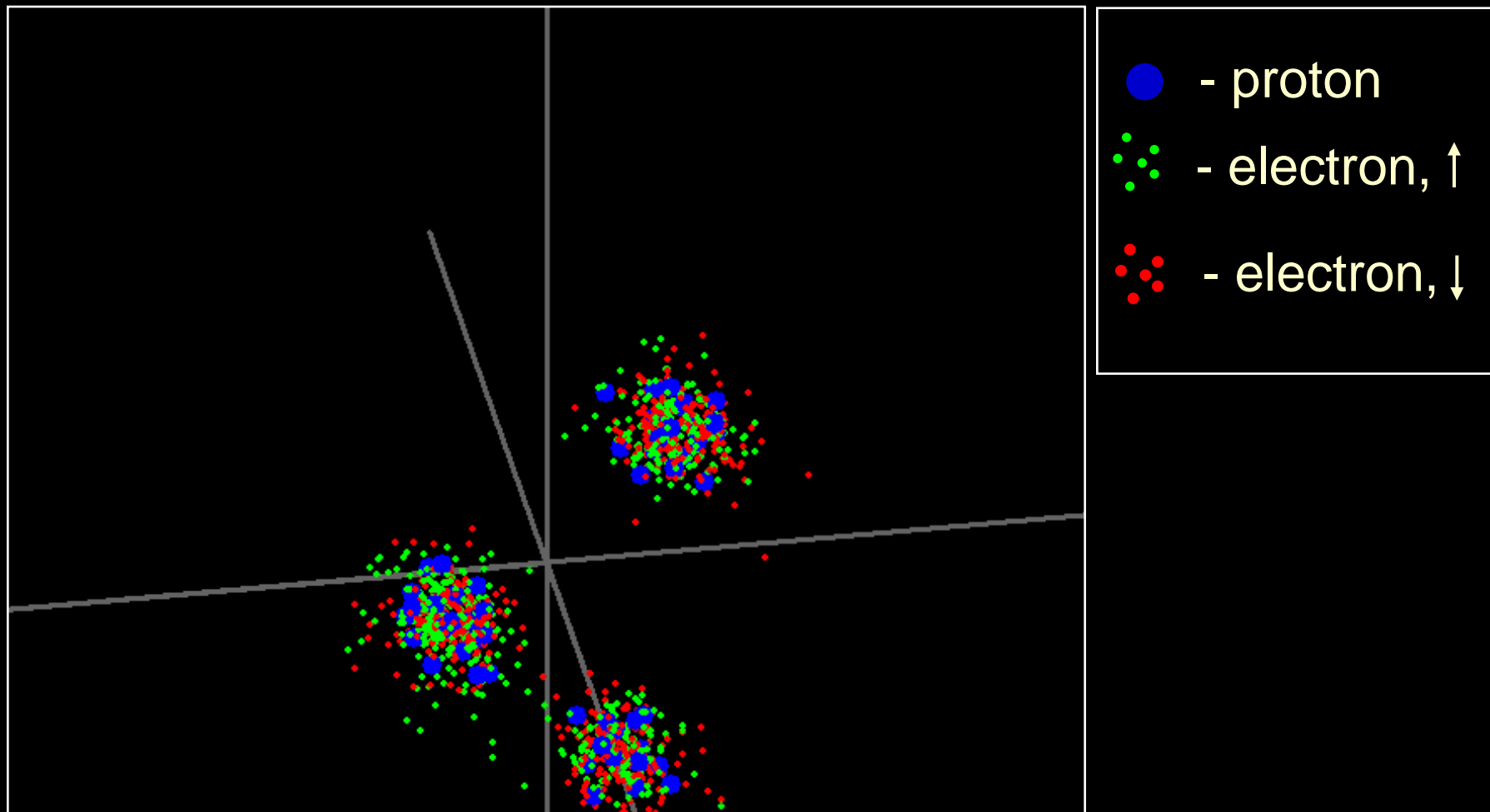
BOLTZMANN: $g(r)$ oscillations $\Gamma \sim 2,5$
 $\Gamma \sim 3,1 \left(\frac{\partial P}{\partial V} \right)_T \geq 0$
Phase Transition $\Gamma \sim 170$

Квазизэнтропическое сжатиедейтерия



QUANTUM MONTE-CARLO SIMULATIONS

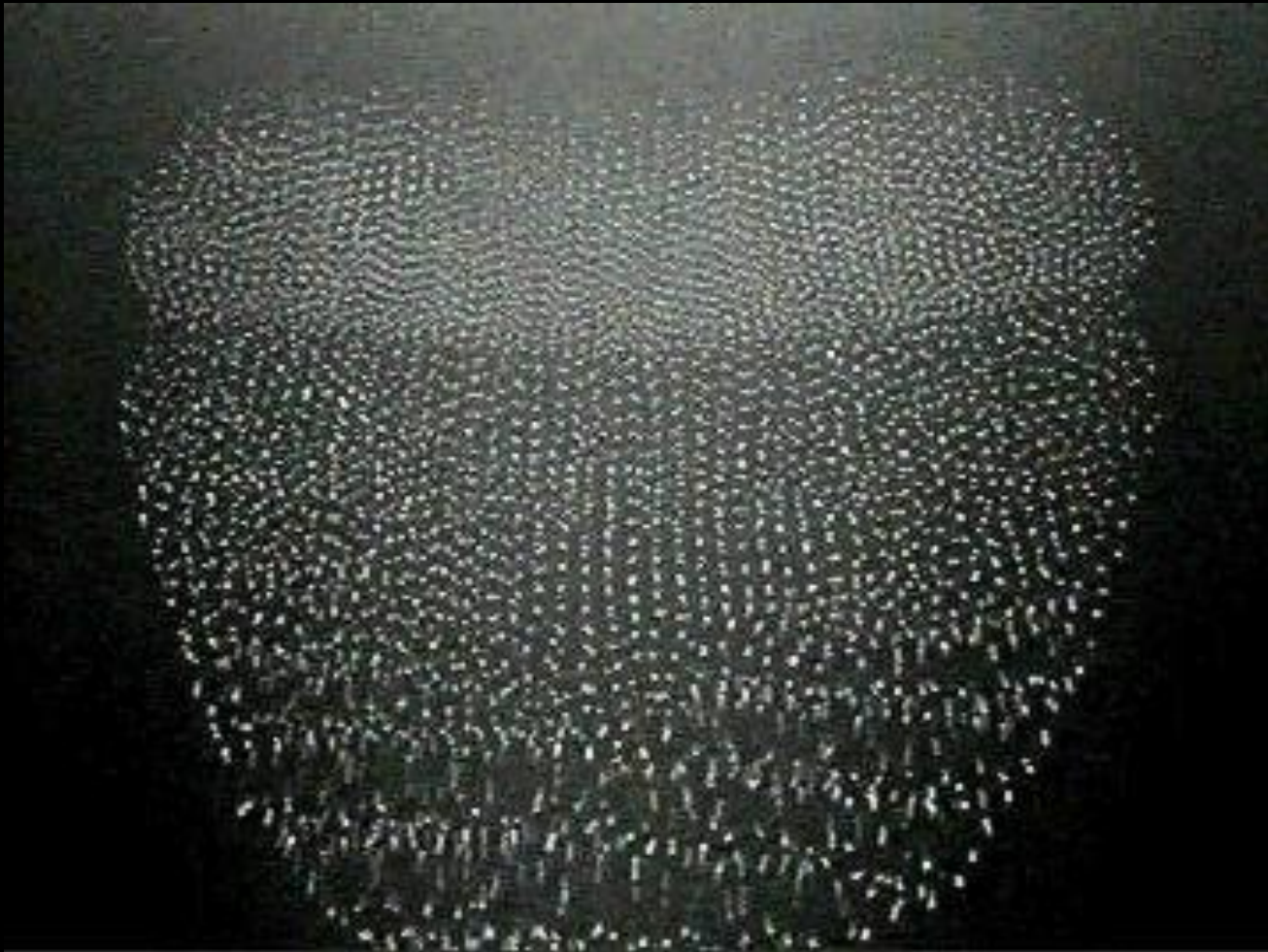
Hydrogen, phase transition



$T = 10000 \text{ K}$, $n = 3 \cdot 10^{22} \text{ cm}^{-3}$, $\rho = 0.05 \text{ g/cm}^3$

DUST PLASMA STRUCTURES, MOTIONS AND WAVES

CONVECT



MF particles

Neon gas

$\varnothing = 1.87 \mu\text{m}$

$P = 0.3 \text{ Torr}$

$I = 5 \text{ mA}$

WHAT IS METAL?

Sir Newill Mott:

"I've thought a lot about "what is a metal" and I think one can only answer the question at $T = 0$ K. Thus a metal conducts and nonmetal doesn't".

Acad. Lev Landau, Ya. Zeldovich:

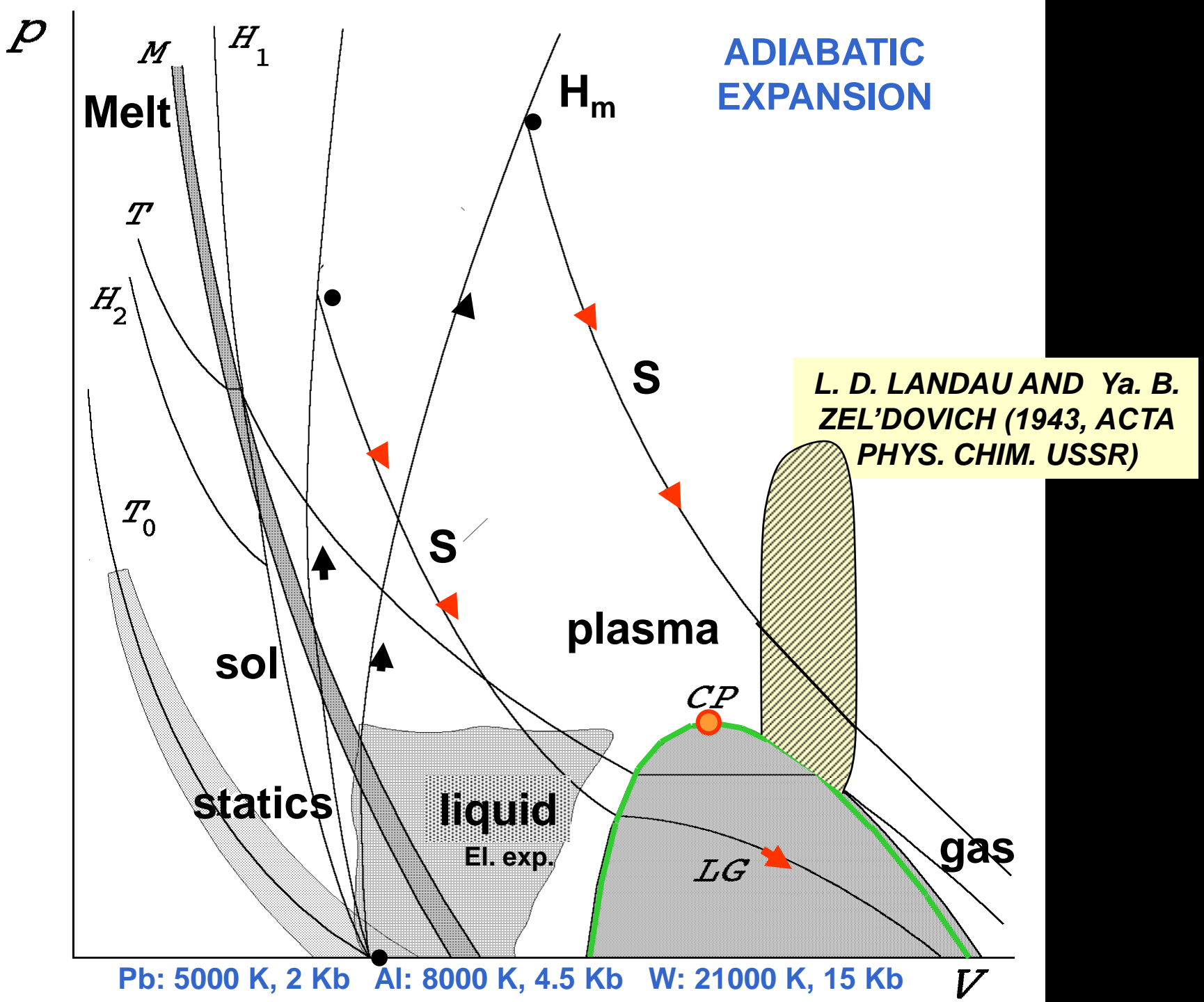
"A dielectric can be strictly identified from a metal only at the absolute zero temperature".

Prof. Friedrich Hensel :

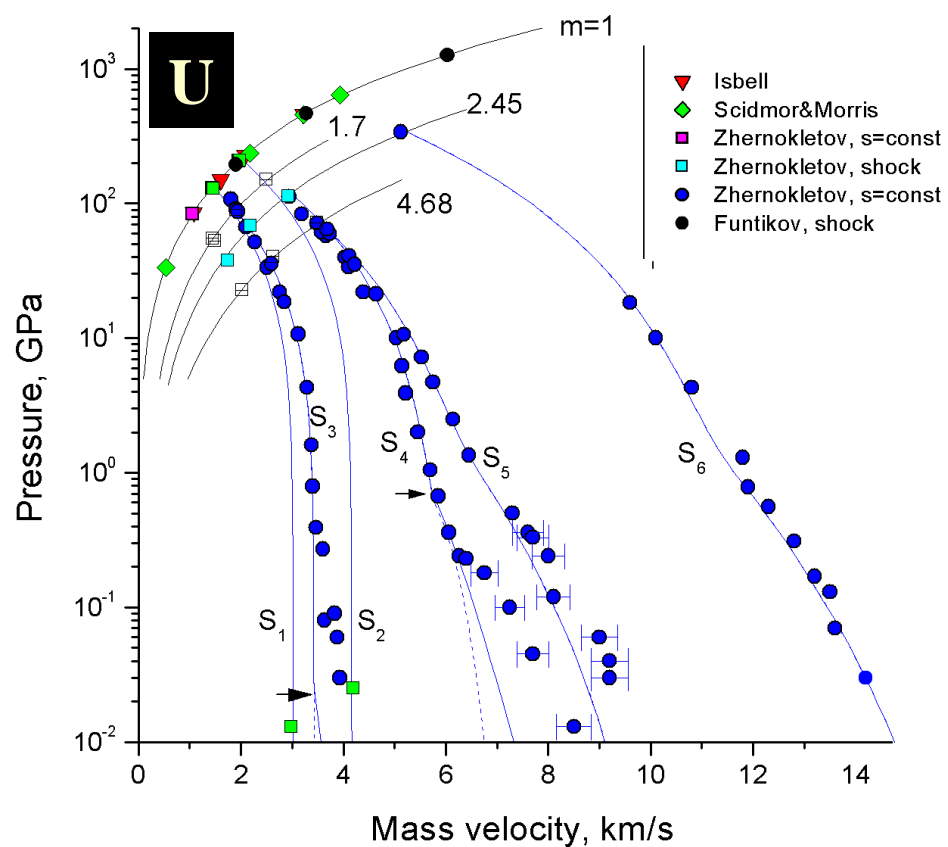
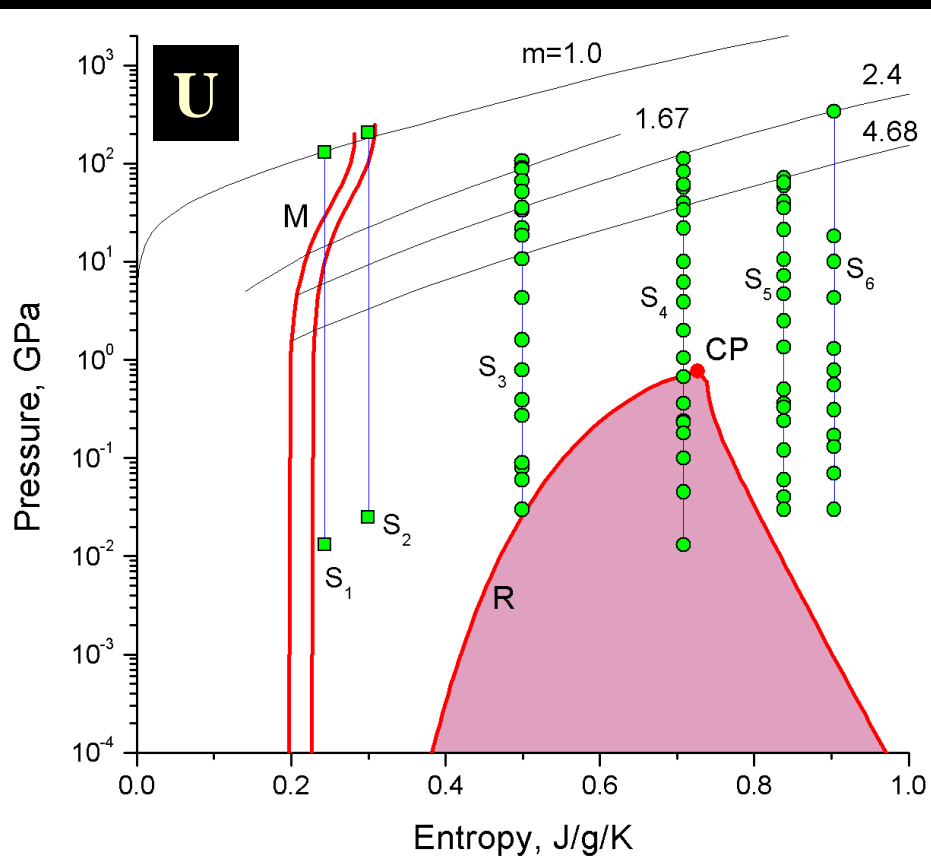
"The only rigorous criterion for differentiating between a metal and a non-metal is the value of the electrical conductivity at $T=0$ ".

Practical Example:

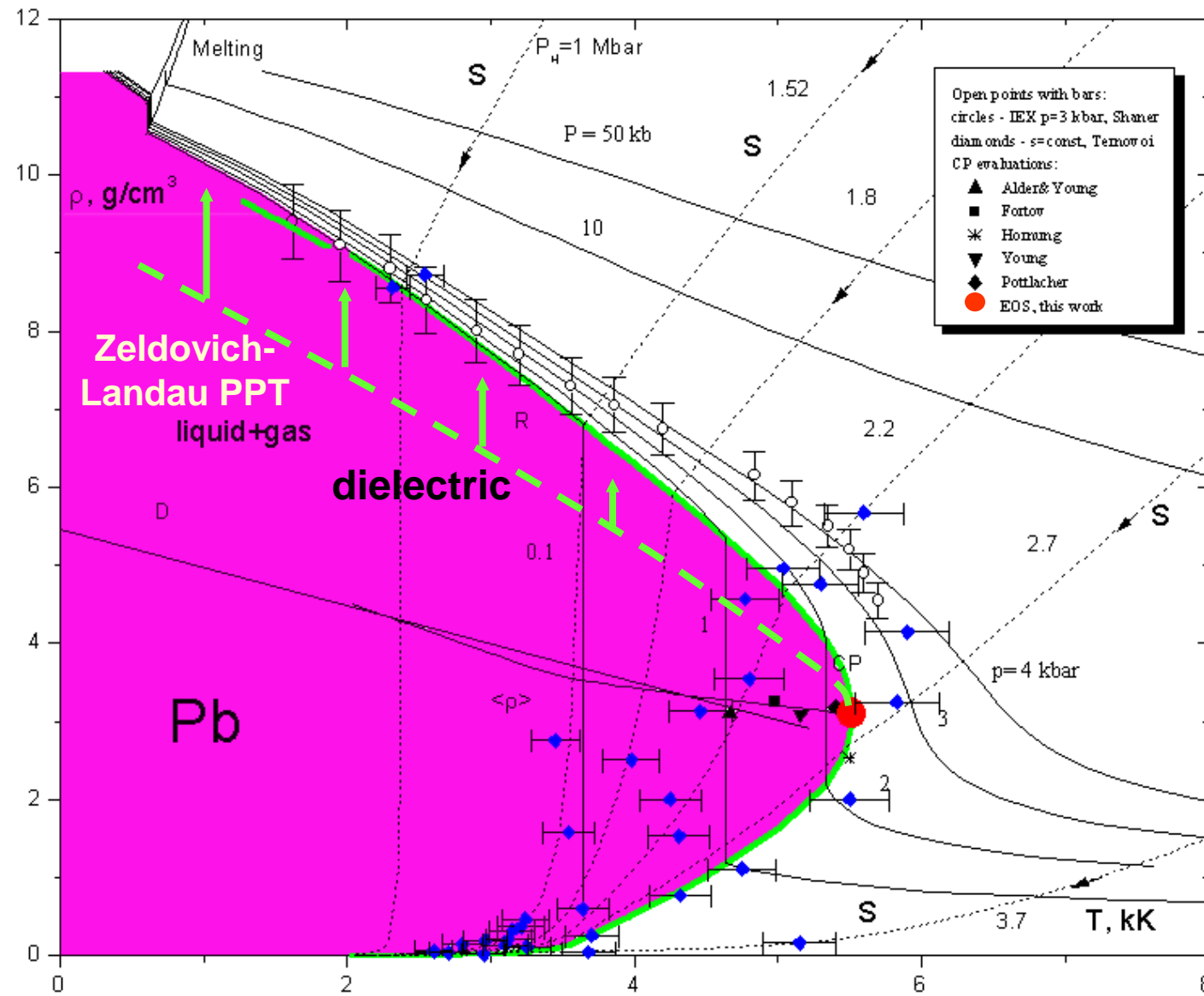
Tokomak plasma:
 $n_e \sim 10^{14}$, $T \sim 10^7$ K,
 $\sigma_{Tp} \sim 3 \cdot 10^5$ ($\Omega\text{-cm}$) $^{-1}$
 $\sim 6\sigma_{Pb} \sim 3\sigma_{Fe} \sim \sigma_{Al}$



ADIABATIC EXPANSION

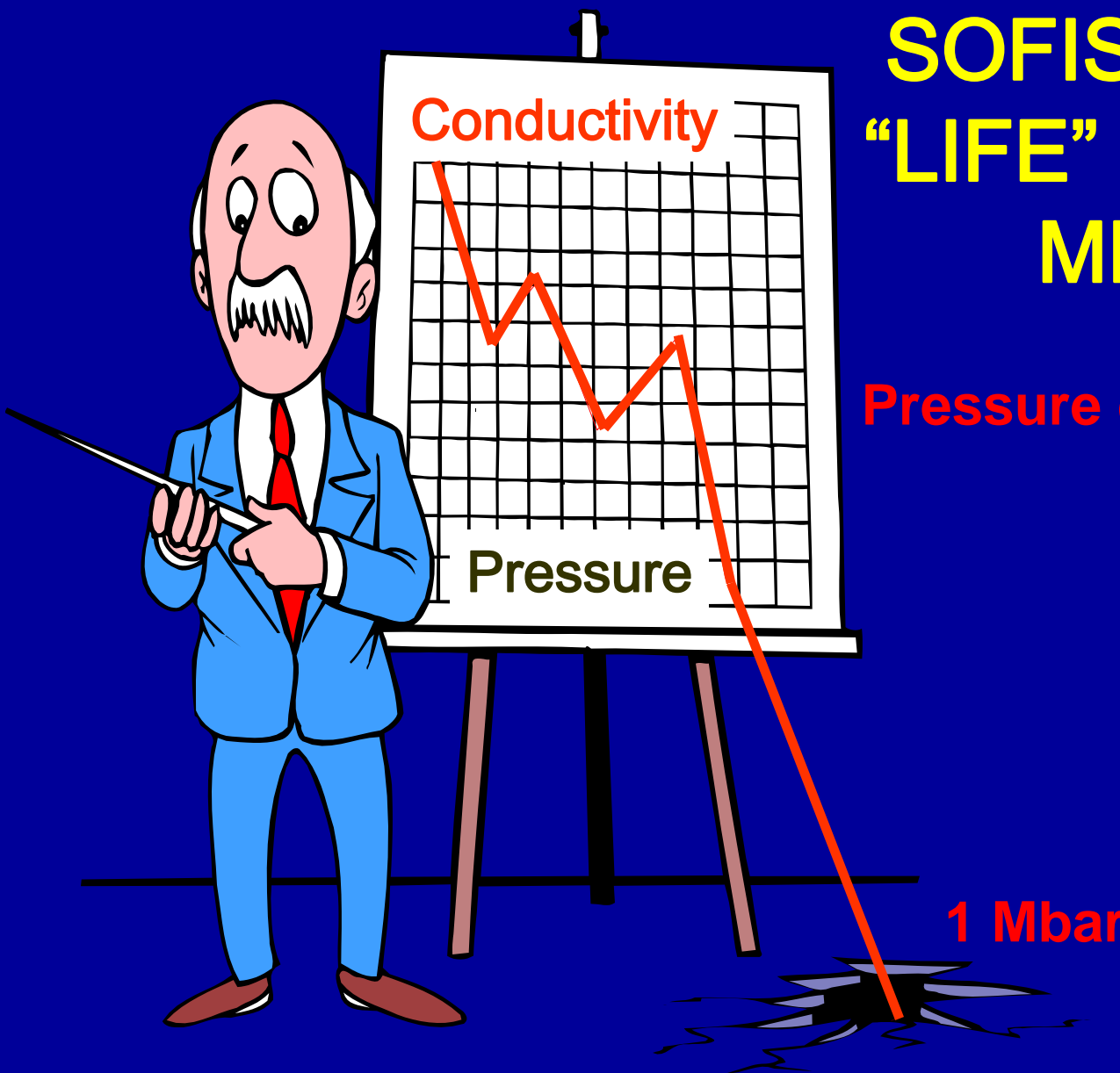


HIGH-TEMPERATURE EVAPORATION



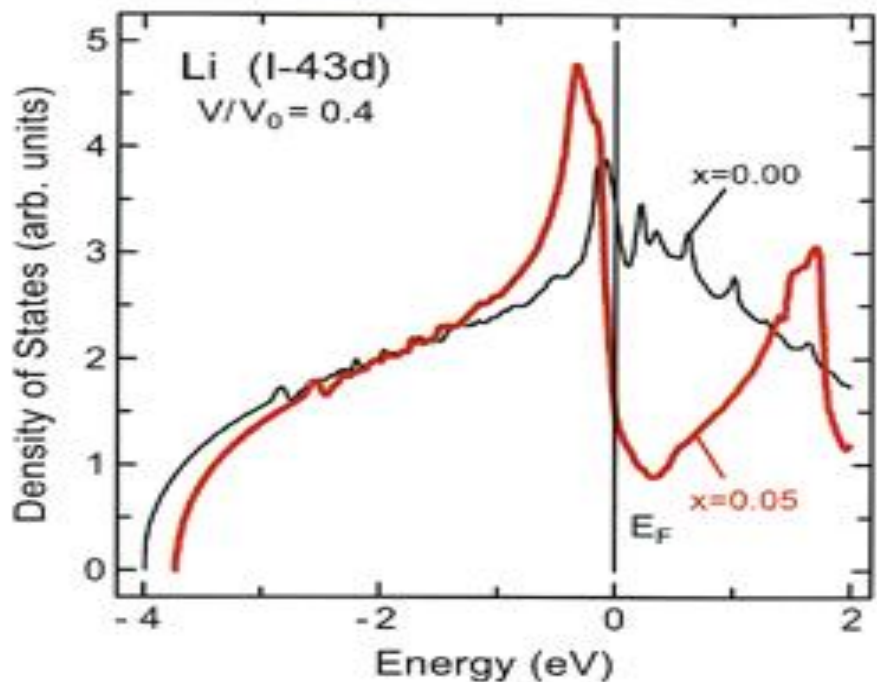
SOFISTICATED “ “LIFE” OF SIMPLE METALS:

Pressure dielectrisation !!

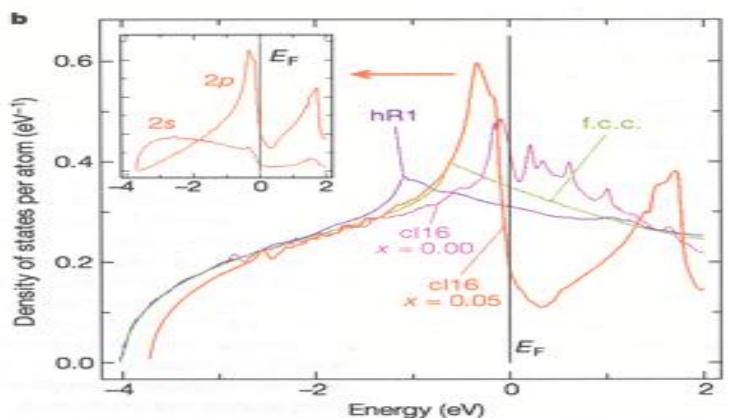


**Li at $V/V_0 = 0.4$,
 $P \sim 48.8\text{GPa}$**

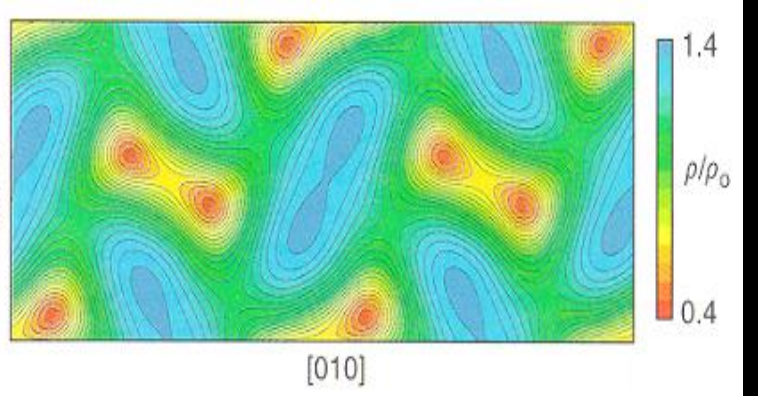
**VALENCE ELECTRONS
DENSITY DISTRIBUTIONS**



**ELECTRONIC
DENSITY OF STATES**

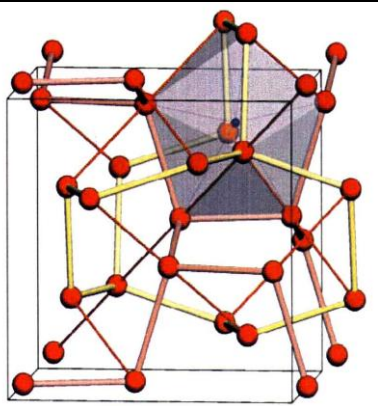


Li AT HIGH PRESSURE

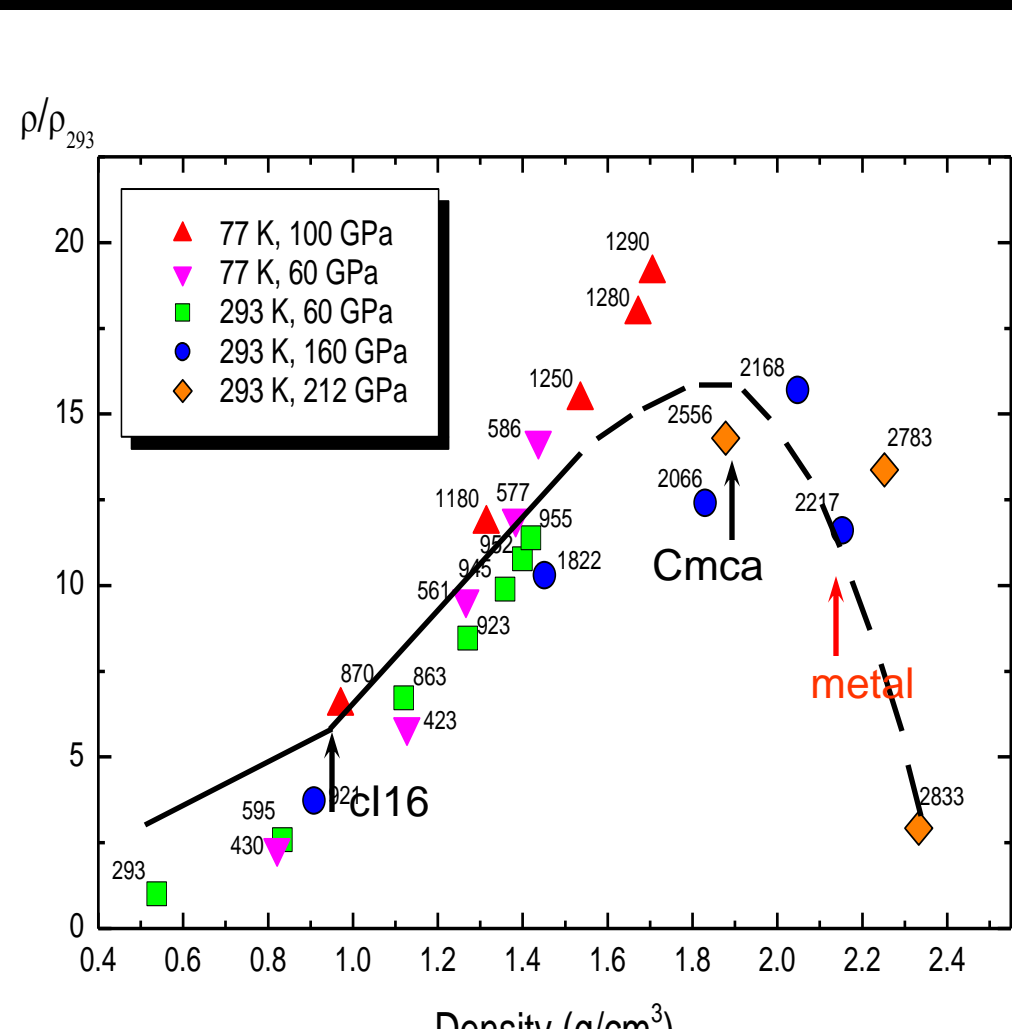


Cmca structure J. Neaton, N. Ashcroft

cl16 structure



Hanfland et al.,



Pastnov, Fortov et al.,

bcc \rightarrow 16GPa \rightarrow fcc \rightarrow 41GPa \rightarrow hR1 \rightarrow 48GPa \rightarrow cl16 \rightarrow 165GPa \rightarrow Cmca
Hanfland et al.,

Модель УРС

$$F(V, T) = F_c(V) + F_a(V, T) + F_e(V, T)$$

Кристалл

$$F_c^{(s)}(V) = 3V_{0c} \sum_{i=1,5} \frac{a_i}{i} (\sigma_c^{i/3} - 1), \quad \sigma_c = V_{0c}/V$$

$$\sum_{i=1,5} a_i = 0 \quad \sum_{i=1,5} a_i i/3 = B_{0c} \quad \sum_{i=1,5} a_i (i/3)^2 = B'_{0c}$$

$$\begin{aligned} \Re(x) &= \sum_{n=1,N} g_n \left[1 - \frac{P_c(a_i, \sigma_n)}{P_c^{TFC}(\sigma_n)} \right]^2 + \lambda \sum_{i=1,5} a_i + \\ &+ \mu \left(\sum_{i=1,5} a_i i/3 - B_{0c} \right) + \nu \left(\sum_{i=1,5} a_i (i/3)^2 - B'_{0c} \right) \\ F_a^{(s)}(V, T) &= 3RT \ln \frac{\theta_c^{(s)}(V)}{T} \end{aligned}$$

$$\begin{aligned} \theta_c^{(s)}(V) &= \theta_{0s} \sigma^{2/3} * \\ &\exp \left\{ \frac{(\gamma_{0s} - 2/3)(B_s^2 + D_s^2)}{B_s} \operatorname{arctg} \left[\frac{x B_s}{B_s^2 + D_s(x + D_s)} \right] \right\} \end{aligned}$$

Жидкость

$$F_c^{(l)}(V) = 3V_{0c} \sum_{i=1,5} \frac{a_i}{i} (\sigma_c^{i/3} - 1), \quad \sigma_c \geq 1$$

$$F_c^{(l)}(V) = V_{0c} \left[A_c \frac{\sigma_c^m}{m} + B_c \frac{\sigma_c^n}{n} + C_c \frac{\sigma_c^l}{l} \right] + E_{sub} \quad \sigma_c < 1$$

$$F_a^{(l)}(V, T) = F_t(V, T) + F_m(V, T)$$

$$F_t^{(l)}(V, T) = c_a(V, T) T \ln \frac{\theta^{(l)}(V, T)}{T}$$

$$c_a(V, T) = \frac{3R}{2} \left[1 + \frac{\sigma T_a}{(\sigma + \sigma_a)(T + T_a)} \right] \theta^{(l)}(V, T) = T_{sa} \frac{(T_{ca} \theta_c^{(l)} + T) \sigma_c^{2/3}}{T_{ca} + T}$$

$$\theta_c^{(l)}(V) = \theta_0^l \exp \left\{ \frac{(\gamma_{0l} - 2/3)(B_l^2 + D_l^2)}{B_l} \operatorname{arctg} \left[\frac{x B_l}{B_l^2 + D_l(x + D_l)} \right] \right\}$$

$$F_m(V, T) = 3R \left\{ \frac{2\sigma_m^2 T_{m0}}{1 + \sigma_m^3} \left[C_m + \frac{2A_m}{5} (\sigma_m^{5/3} - 1) \right] + (B_m - C_m) T \right\}$$

Модель УРС: электроны

$$F_e(V, T) = -c_e(V, T)T \times \ln \left[1 + \frac{B_e(T)T}{2c_{ei}} \sigma^{-\gamma_e(V, T)} \right]$$

$$c_e(V, T) = \frac{3R}{2} \left[Z + \frac{\sigma_z T_z^2 (1-Z)}{(\sigma + \sigma_z)(T^2 + T_z^2)} \right] \exp \left[-\frac{\tau_i}{T} \right] \quad B_e(T) = \frac{2}{T^2} \int_0^T \beta(\tau) d\tau$$

$$\beta(T) = \beta_i + \left(\beta_0 - \beta_i + \beta_m \frac{T}{T_b} \right) \exp \left[-\frac{T}{T_b} \right] \quad \tau_i = T_i \exp(-\sigma_i / \sigma) \quad c_{ei} = \frac{3RZ}{2}$$

$$\gamma_e(V, T) = \gamma_{ei} + \left(\gamma_{e0} - \gamma_{ei} + \gamma_m \frac{T}{T_g} \right) \exp \left[-\frac{T}{T_g} - \frac{(\sigma - \sigma_e)^2}{\sigma \sigma_d} \right]$$

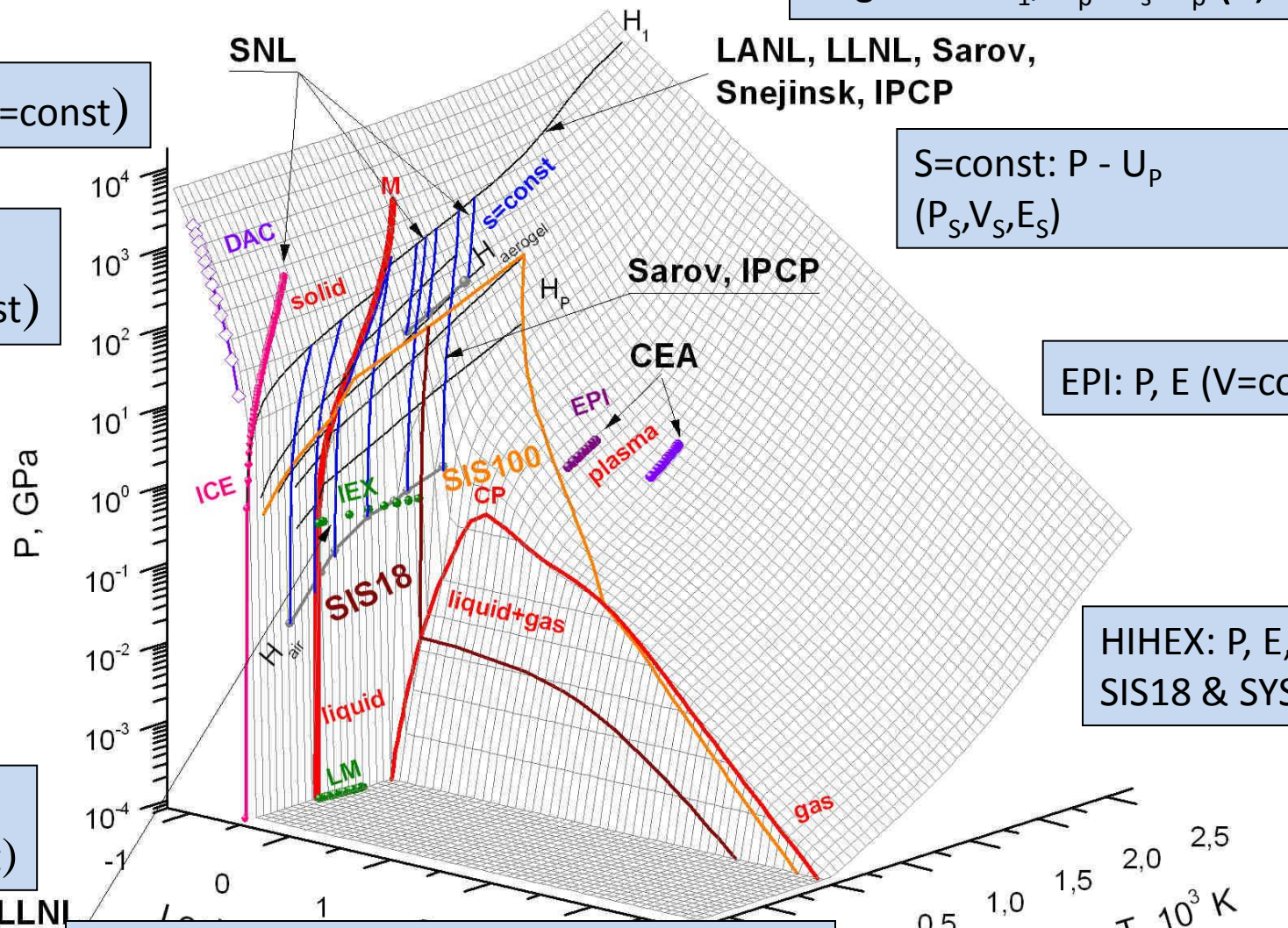
$$T \ll T_{Fermi} \quad F_e(V, T) = -\frac{\beta_0 T^2}{2} \sigma^{-\gamma_0} \quad T \rightarrow \infty \quad F_e(V, T) = \frac{3RZ}{2} \ln(\sigma^{2/3} const / T)$$

YPC AI: 3D P-V-T

Hugoniots $H_1, H_p: U_s - U_p (P, V, E)$

ICE: $P(V, S=\text{const})$

DAC:
 $P(V, T=\text{const})$



$S=\text{const}: P - U_p$
(P_s, V_s, E_s)

EPI: $P, E (V=\text{const})$

HIHEX: $P, E, T(t)$
SIS18 & SYS100

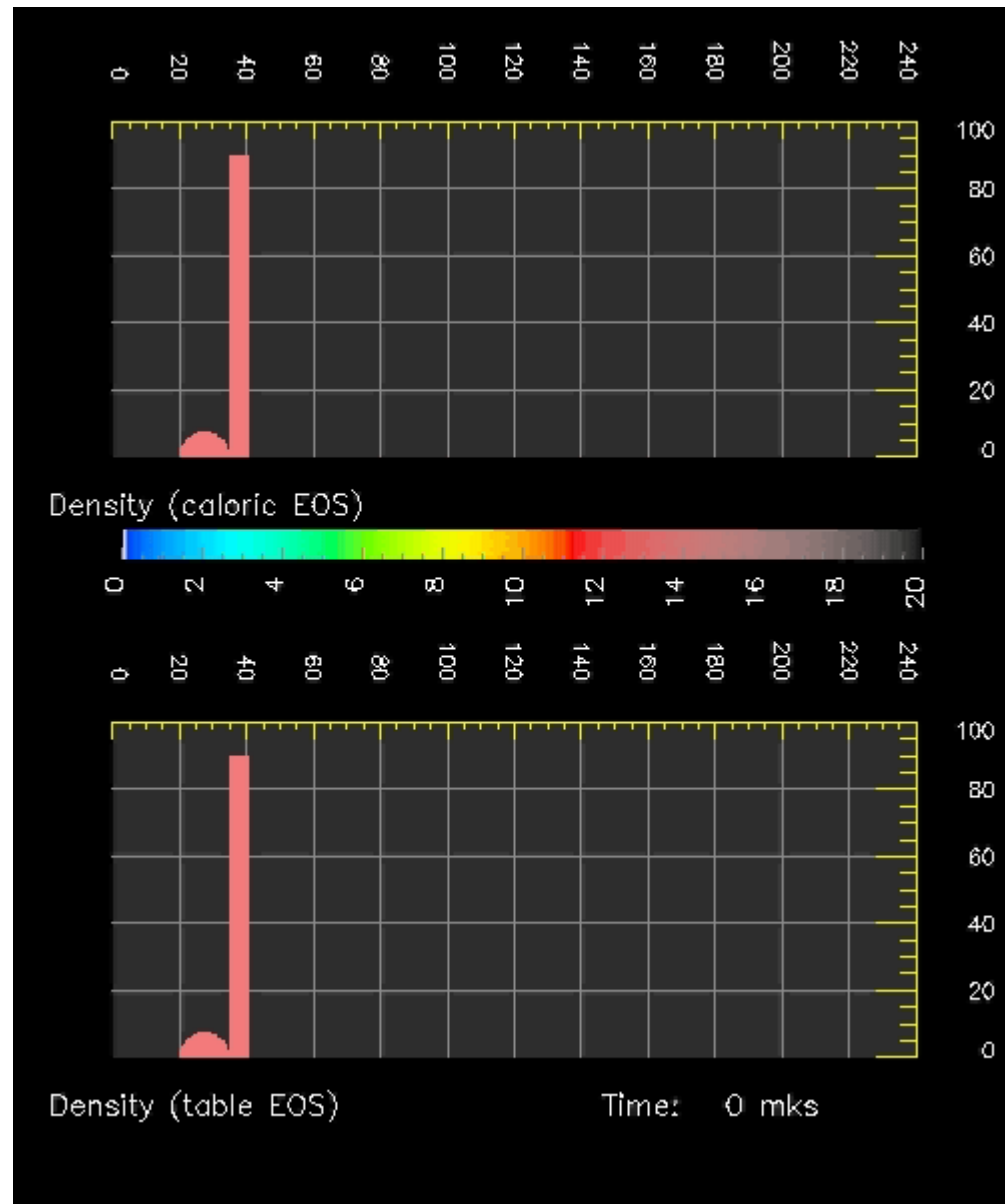
IEX: $E, V, T, H,$
 $C_s (P=\text{const})$

LLNL

- input (V, T) or (V, E) or (V, P)
- output – all derivatives, P, C_s, \dots
- grid: to 256x256, linear, logarithm or arbitrary

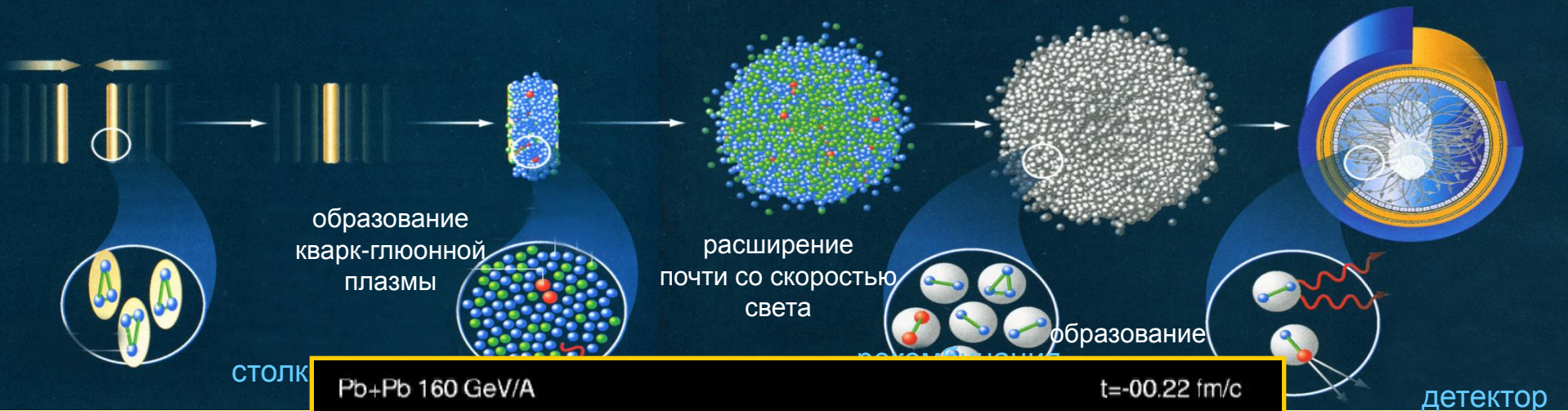
Результаты моделирования: плотность

Caloric EOS



Multi-phase EOS

RELATIVISTIC NUCLEAR COLLISIONS: QUARK-GLUON PLASMA

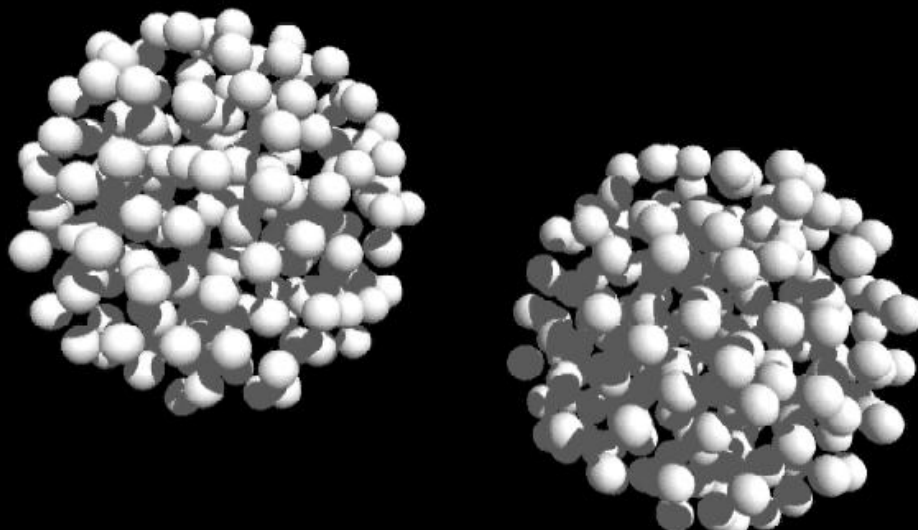


Pb+Pb 160 GeV/A

t=-0.22 fm/c

детектор

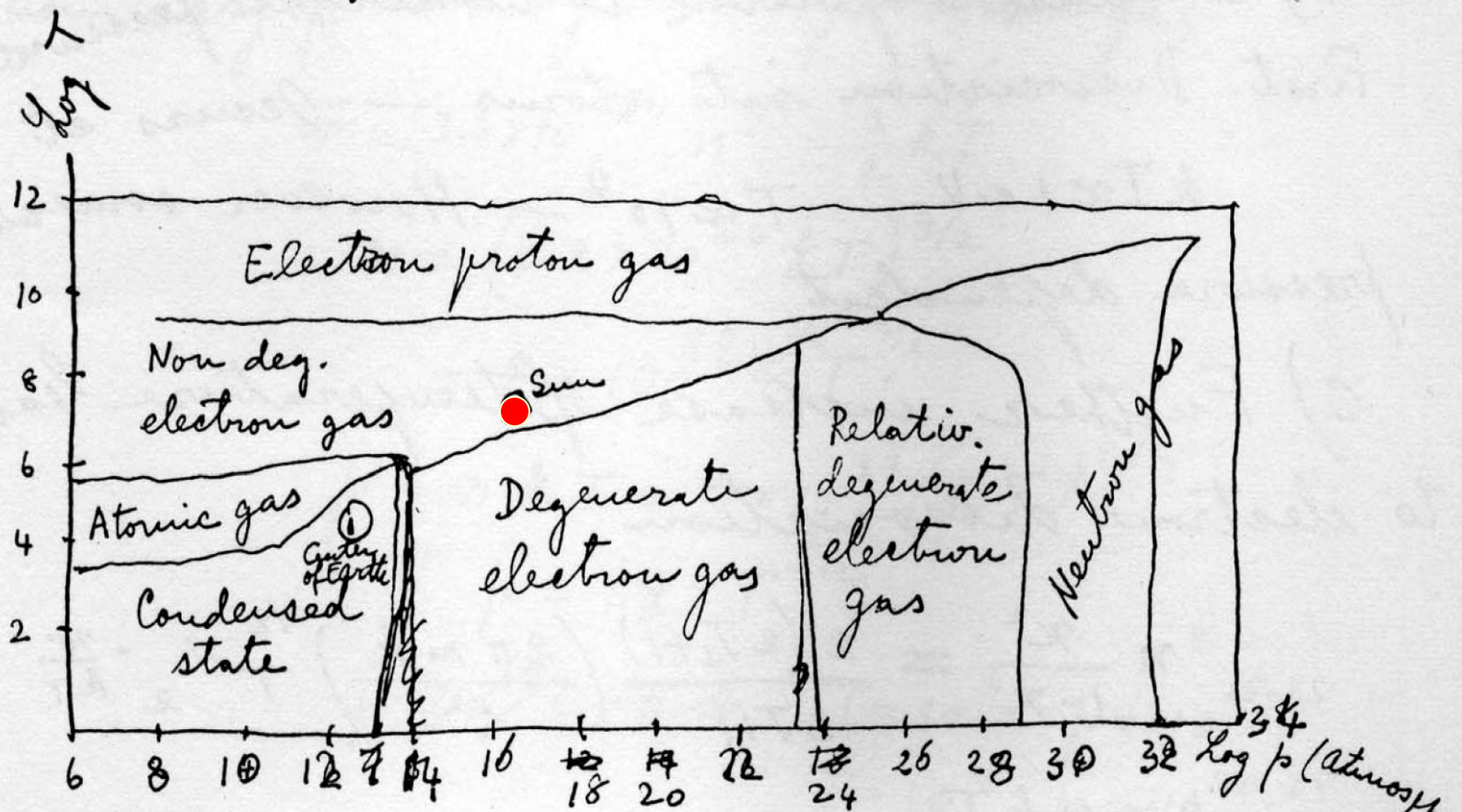
$2 \cdot 10^7 - 7 \cdot 10^{13}$ K,
 10^{15} g/cc, 10^{30} Bar



UrQMD Frankfurt/M

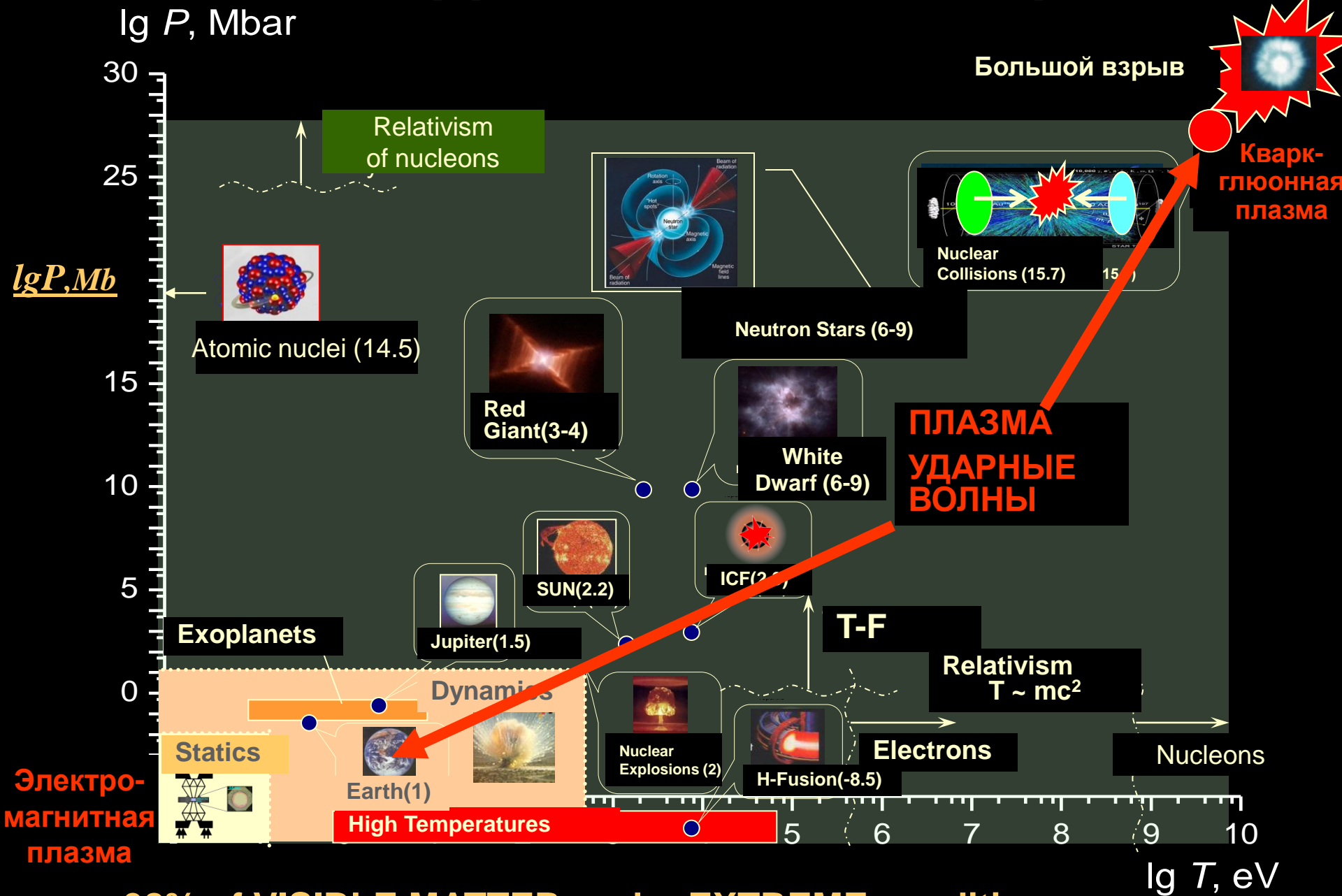
70 - Matter in unusual conditions

70 a



Start from ordinary condensed matter with ~~domino~~ equation of state controlled by ordinary chemical forces.

ФАЗОВАЯ ДИАГРАММА ВЕЩЕСТВА



Я. Б. Зельдович: биография



Я.Б.Зельдович, А.Д.Сахаров и Д.А.Франк-Каменецкий,
Саров, 1952 г.



С сыном Борисом, 1954г.



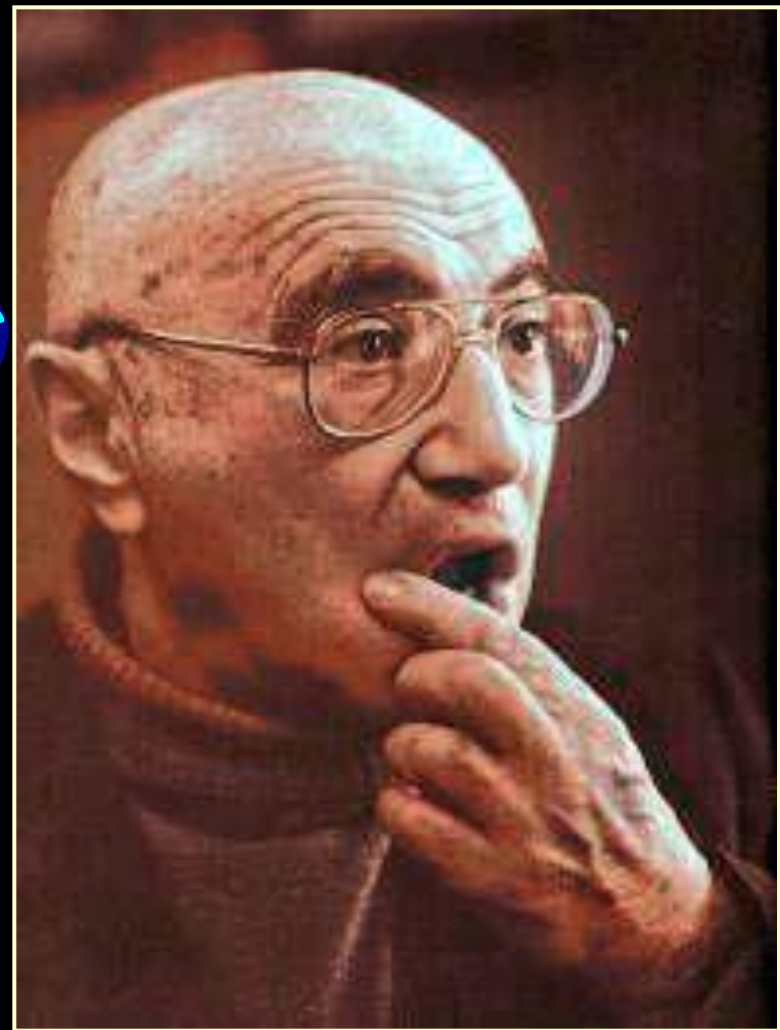
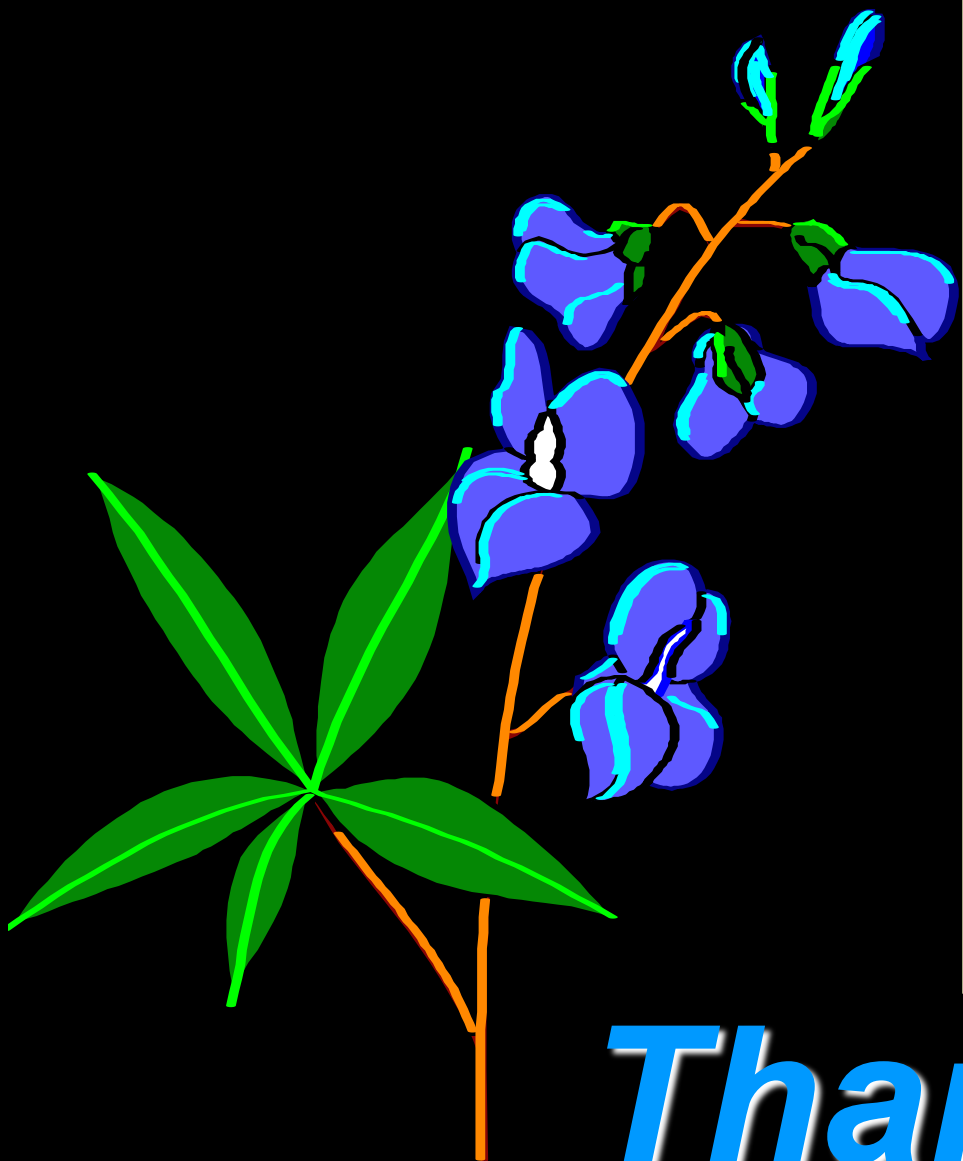
1960 г.



Я.Б.Зельдович, Ю.Б.Харитон и Н.Н. Семенов на
юбилее ИХФ АН ССР, Москва, 1976 г.



Я.Б.Зельдович и Ю.Б.Харитон на общем 150 летнем юбилее
(80 лет ЮБ и 70 лет ЯБ), Москва, ИХФ АН ССР, 1984 г.



Thank You...